

Laser-Doppler-Korrelationsmessungen in turbulenten Strömungen

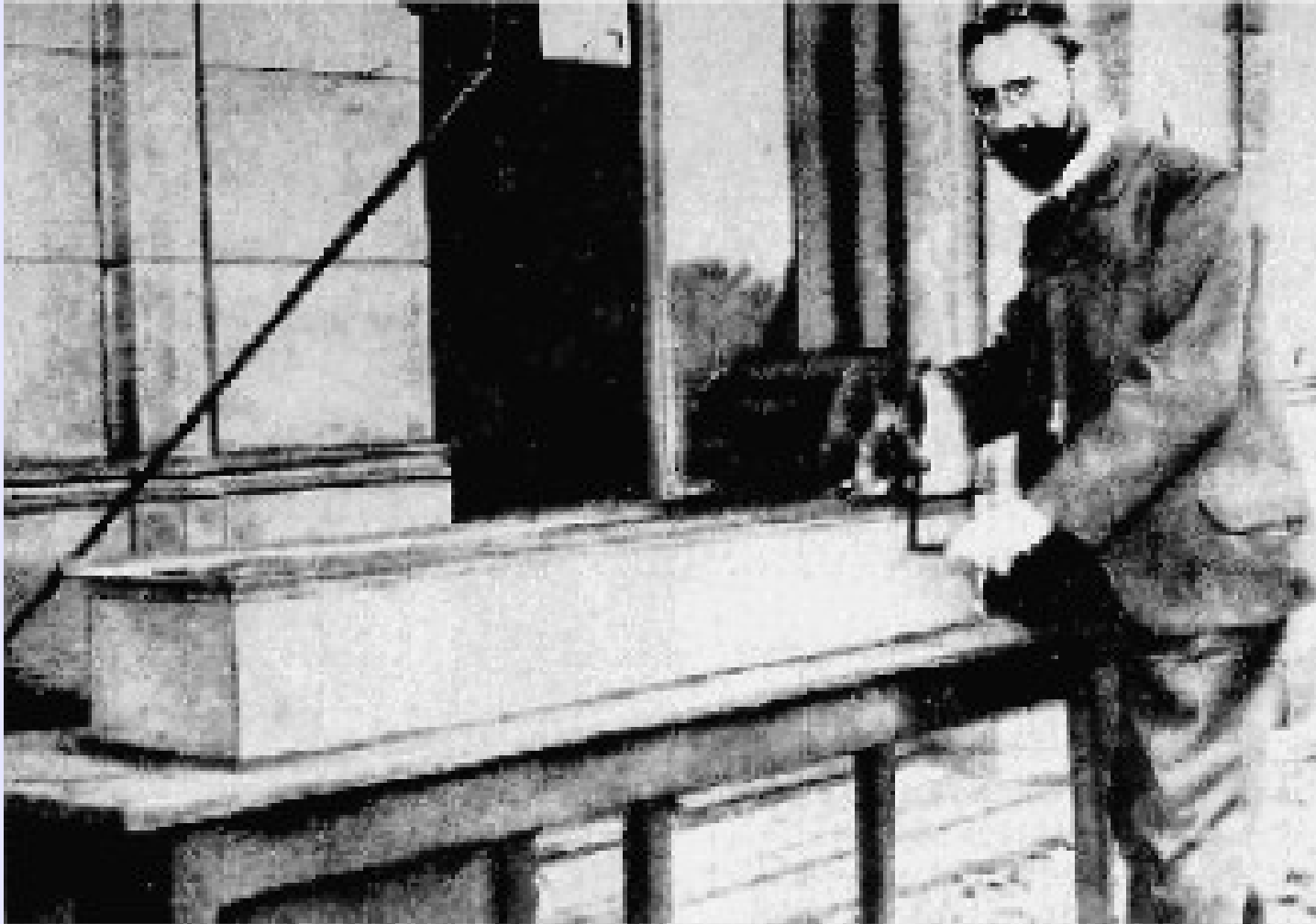
Holger Nobach

Max-Planck-Institut für Dynamik und Selbstorganisation
Göttingen

TU Dresden, 17.11.2006



Max-Planck-Institut für Dynamik und Selbstorganisation



Max-Planck-Institut für Dynamik und Selbstorganisation



Max-Planck-Institut für Dynamik und Selbstorganisation

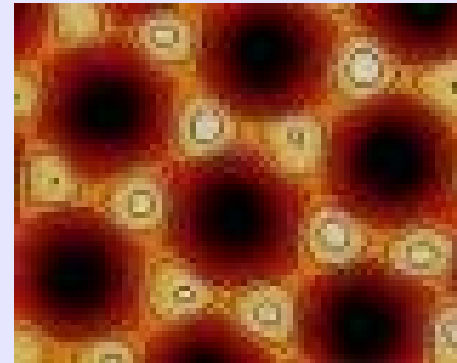
Nichtlineare Dynamik



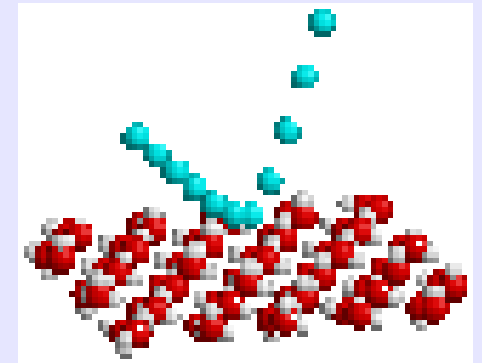
Dynamik komplexer Fluide



Hydrodynamik,
Strukturbildung und
Nanobiokomplexität

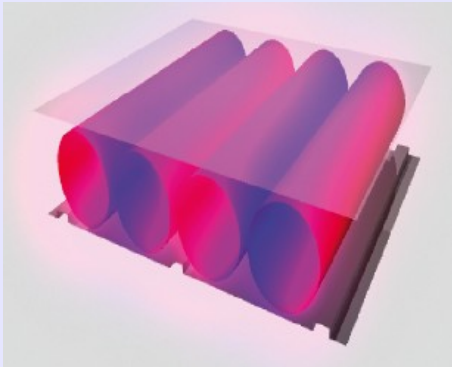


Molekulare
Wechselwirkungen

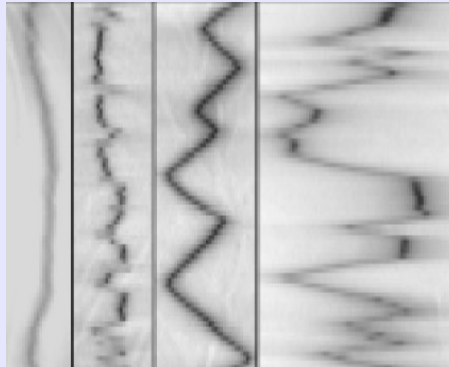


Abteilung Hydrodynamik, Strukturbildung und Nanobiokomplexität

Thermische Konvektion



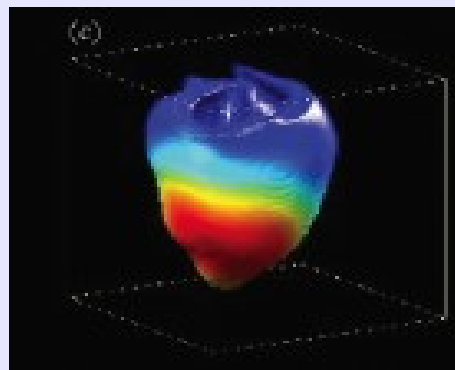
Tektonik



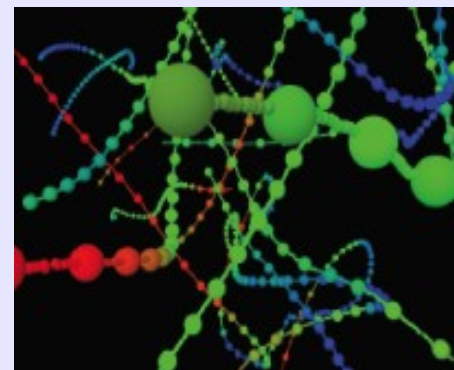
Chemotaxis



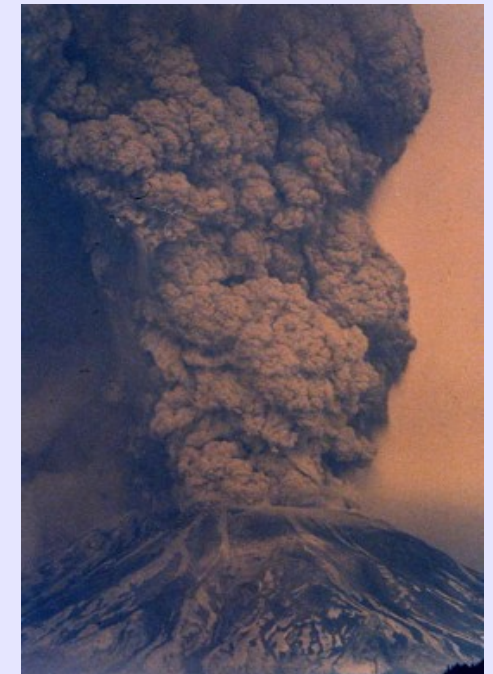
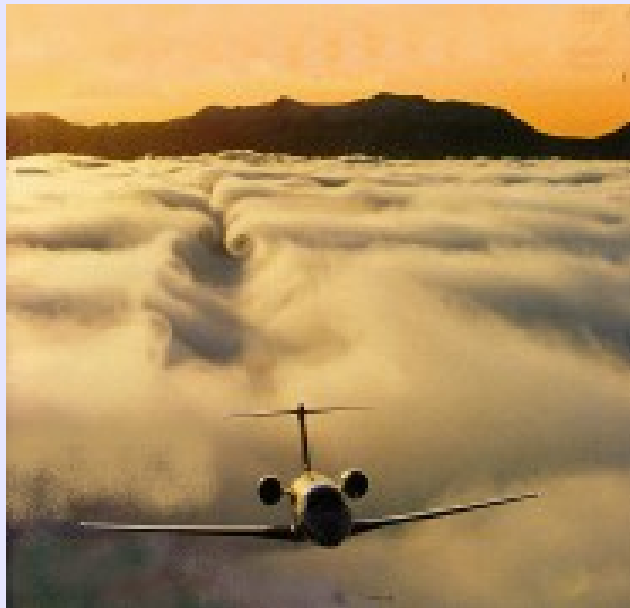
Herzdynamik



Turbulenz



Turbulenz



Navier-Stokes-Gleichung

$$\rho \frac{\partial \mathbf{u}}{\partial t} + \rho (\mathbf{u} \cdot \nabla) \mathbf{u} = -\nabla p + \eta \Delta \mathbf{u} + (\lambda + \eta) \nabla (\nabla \cdot \mathbf{u}) + \mathbf{f}$$

Randbedingungen \Leftrightarrow Direkte Numerische Simulation (DNS)

+ alle Strömungsparameter zugänglich



Navier-Stokes-Gleichung

$$\rho \frac{\partial \mathbf{u}}{\partial t} + \rho (\mathbf{u} \cdot \nabla) \mathbf{u} = -\nabla p + \eta \Delta \mathbf{u} + (\lambda + \eta) \nabla (\nabla \cdot \mathbf{u}) + \mathbf{f}$$

Randbedingungen \Leftrightarrow Direkte Numerische Simulation (DNS)

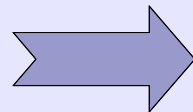
- + alle Strömungsparameter zugänglich
- numerisch aufwendig
- einfache (periodische) Randbedingungen
- keine realen (komplexen) Strömungen

Navier-Stokes-Gleichung

$$\rho \frac{\partial \mathbf{u}}{\partial t} + \rho (\mathbf{u} \cdot \nabla) \mathbf{u} = -\nabla p + \eta \Delta \mathbf{u} + (\lambda + \eta) \nabla (\nabla \cdot \mathbf{u}) + \mathbf{f}$$

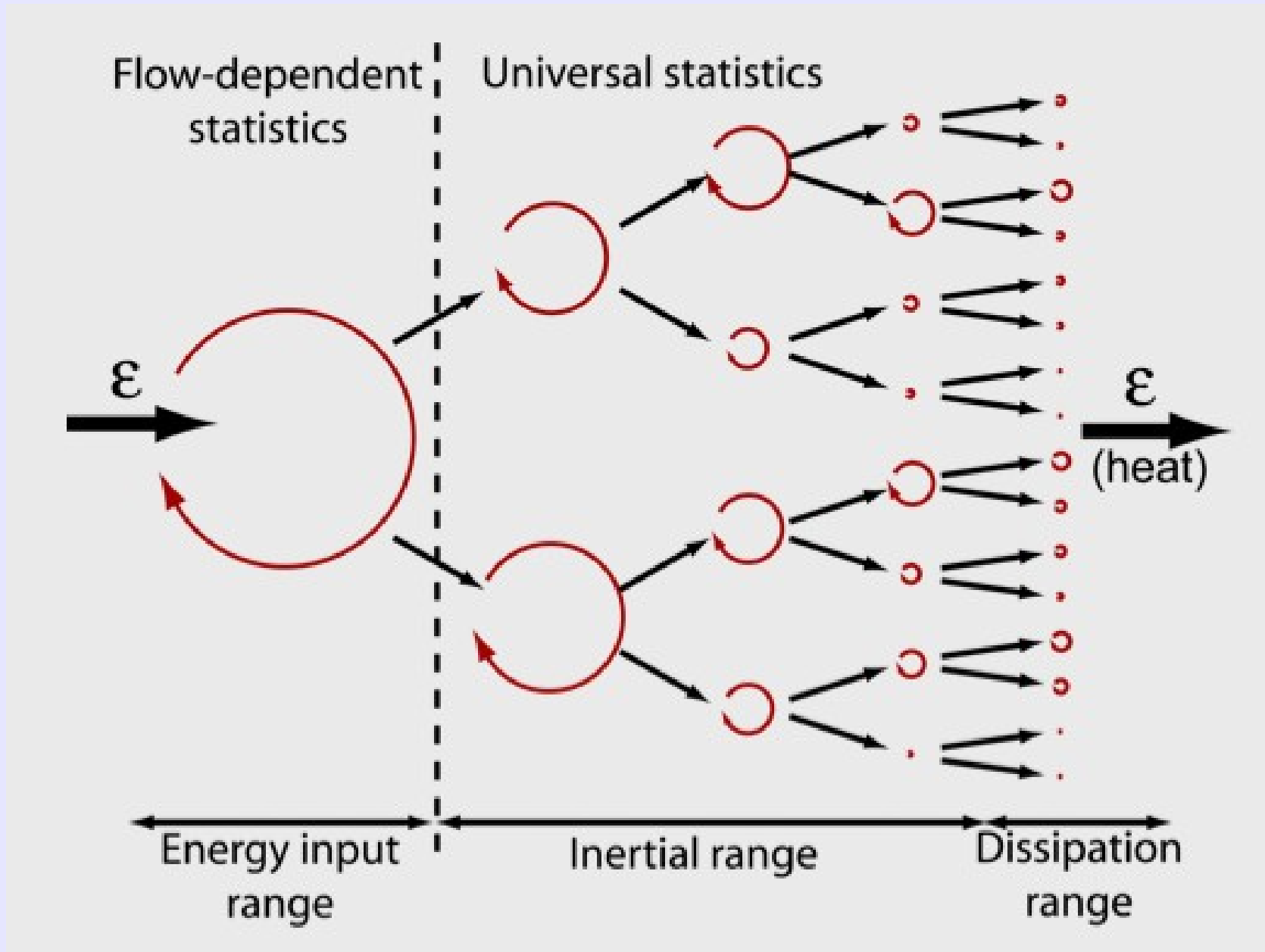
Randbedingungen \Leftrightarrow Direkte Numerische Simulation (DNS)

- + alle Strömungsparameter zugänglich
- numerisch aufwendig
- einfache (periodische) Randbedingungen
- keine realen (komplexen) Strömungen

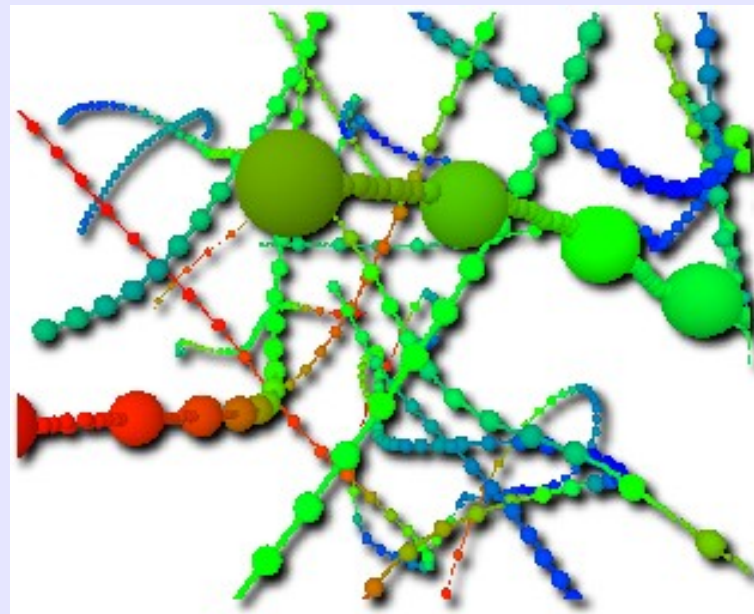
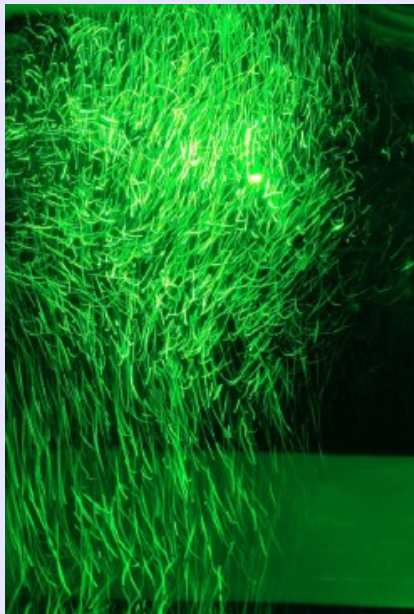
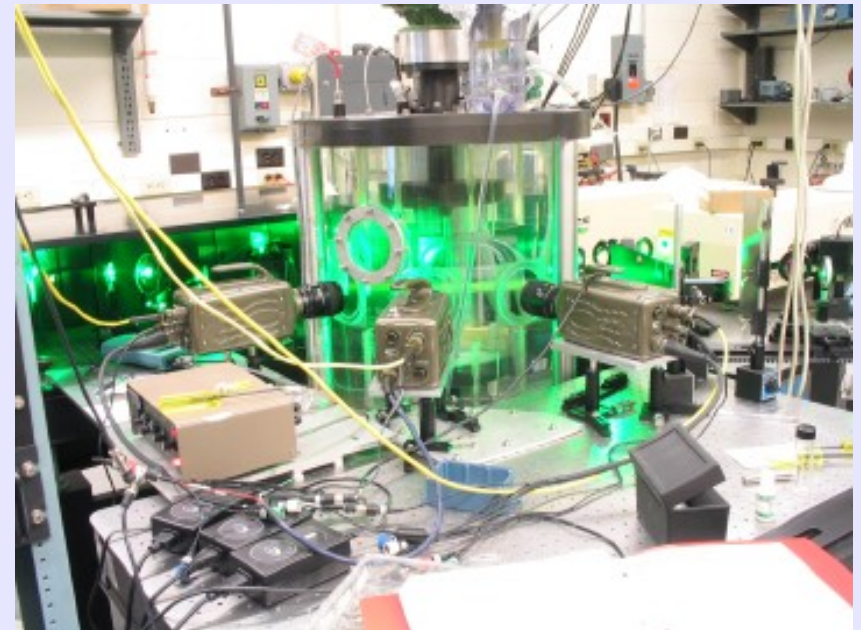
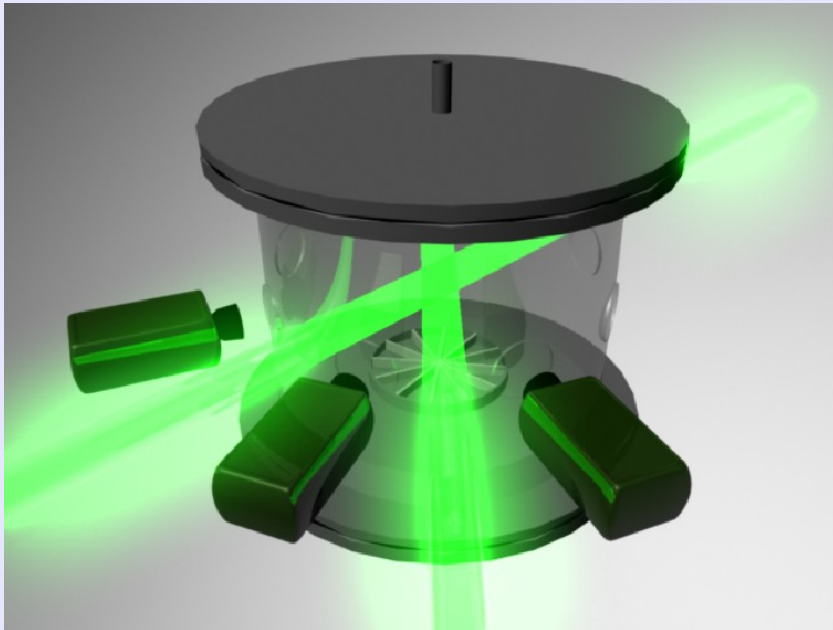


Turbulenzmodelle

Kolmogorov



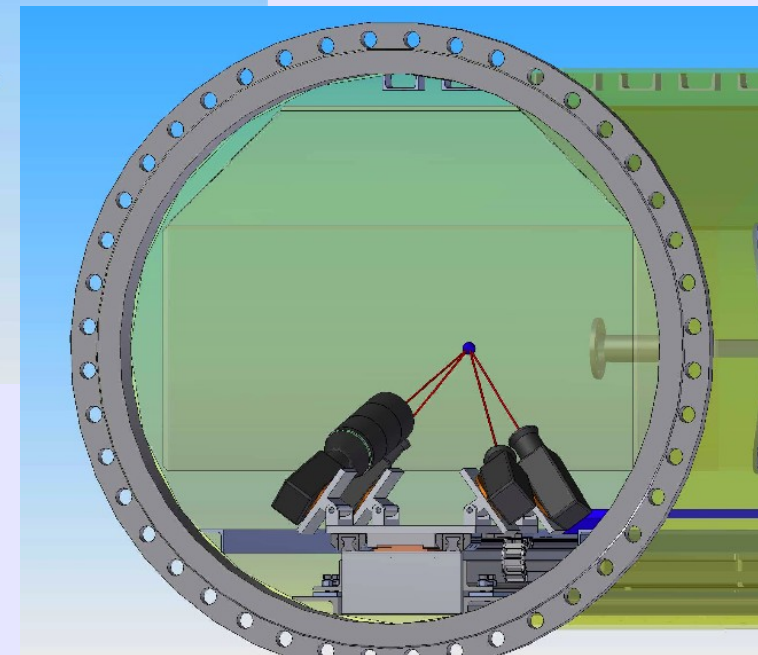
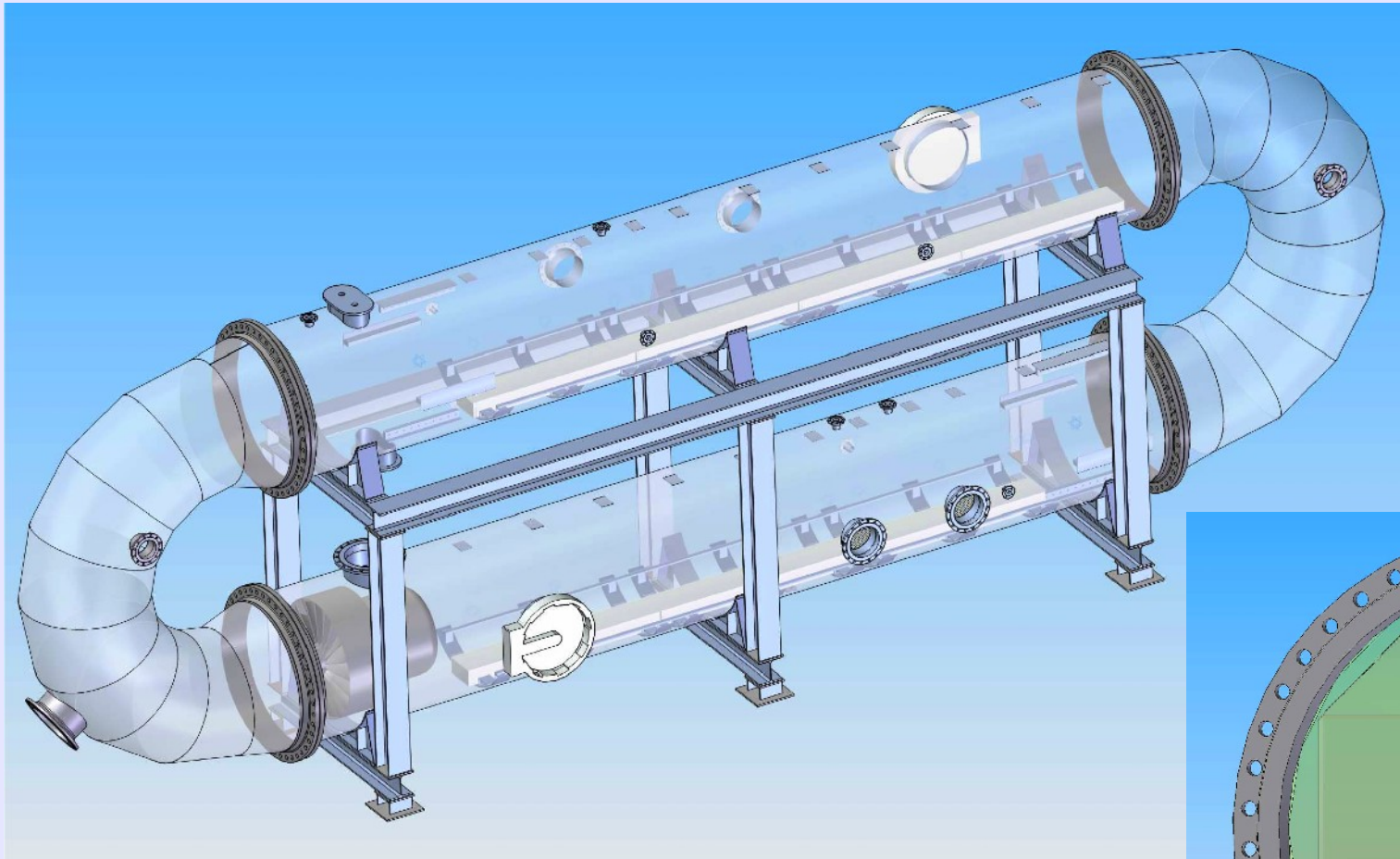
French Washing Machine



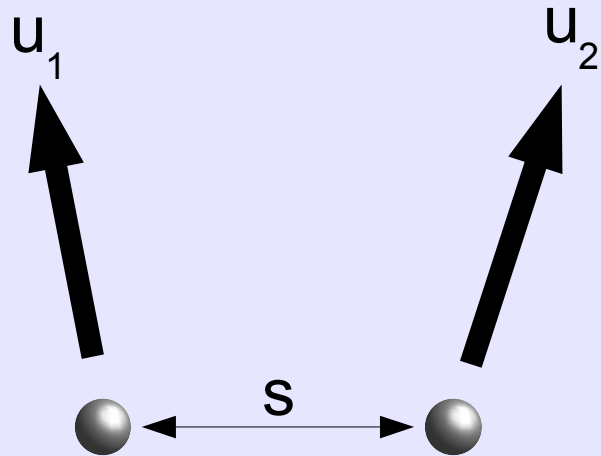
Turbulenzexperimente

Holger Nobach: Laser-Doppler-Korrelationsmessungen in turbulenten Strömungen

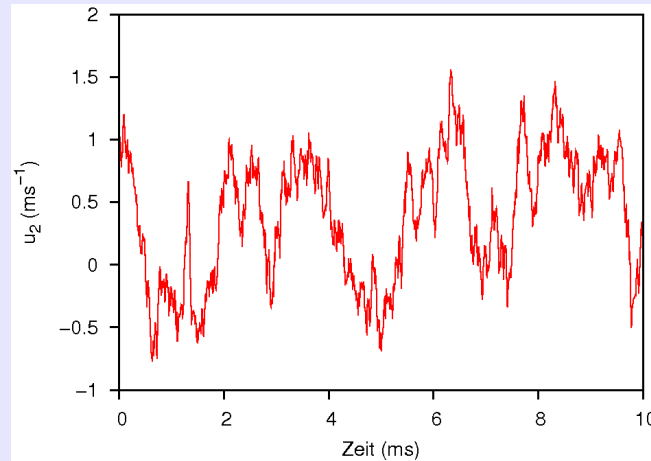
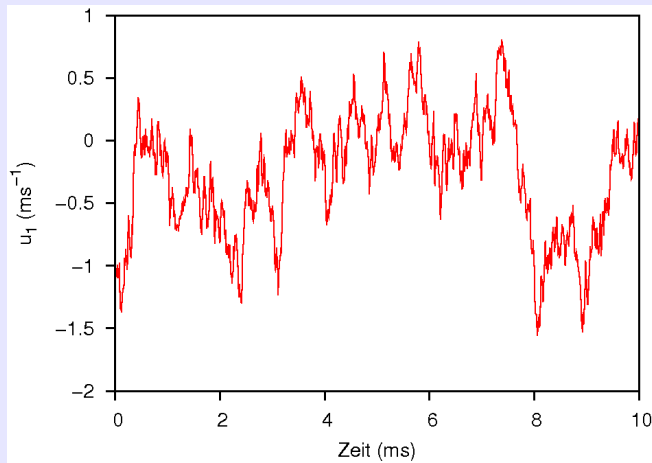
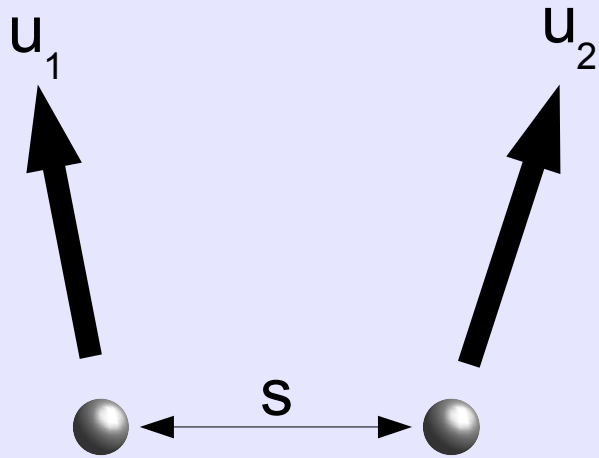
SF₆-Druckwindkanal



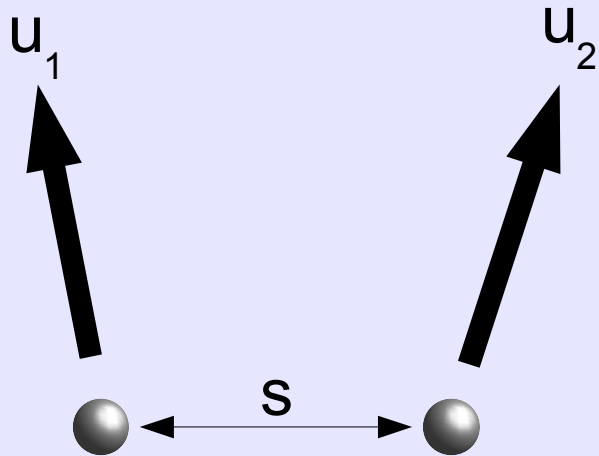
Korrelationsfunktion



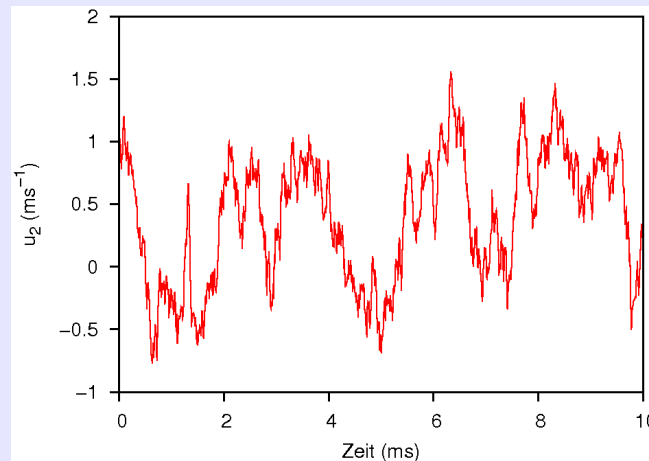
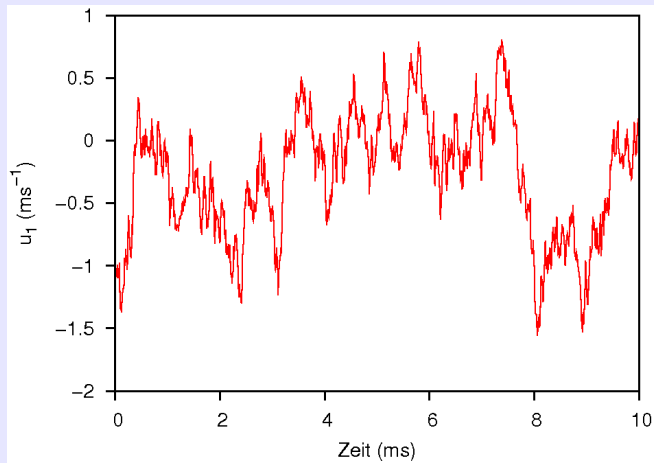
Korrelationsfunktion



Korrelationsfunktion

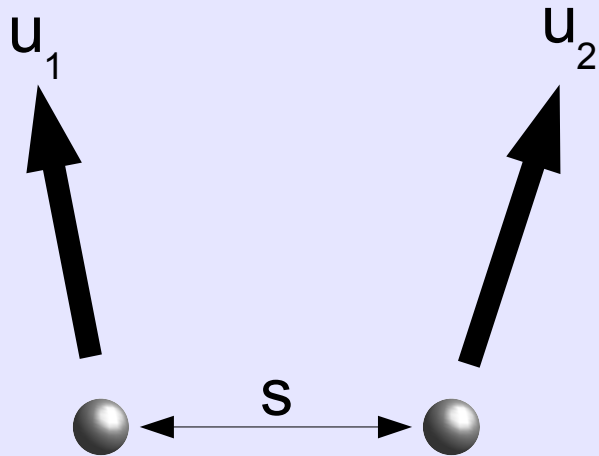


u_1	u_2	$u_1 \cdot u_2$
+	+	+
-	-	+
+		

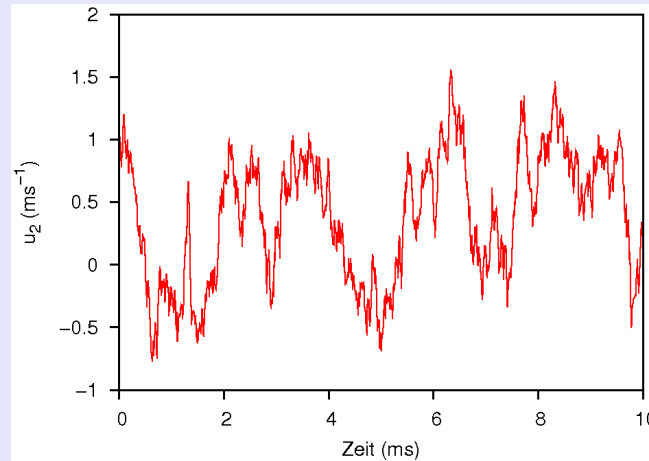
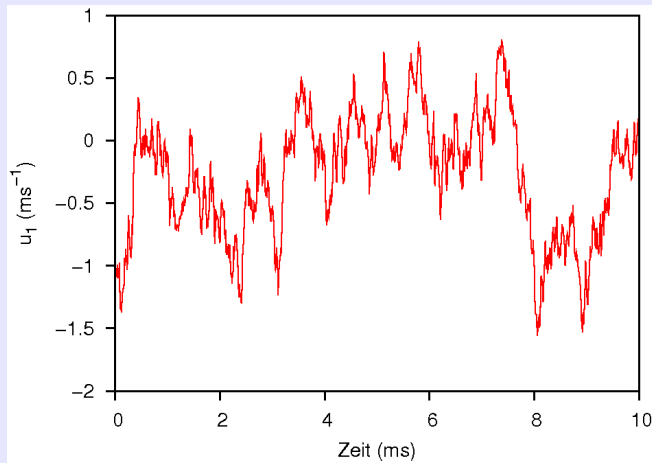


Korrelationsfunktion

Korrelationsfunktion

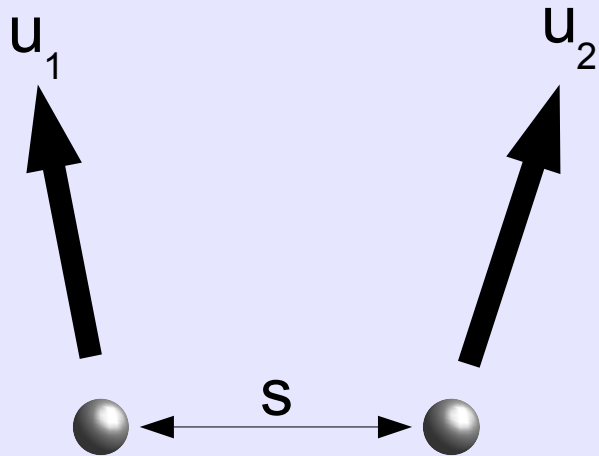


u_1	u_2	$u_1 \cdot u_2$
+	-	-
-	+	-
<hr/>		-

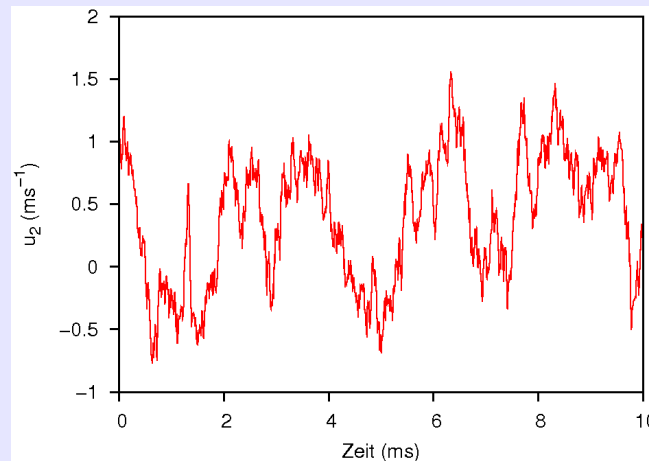
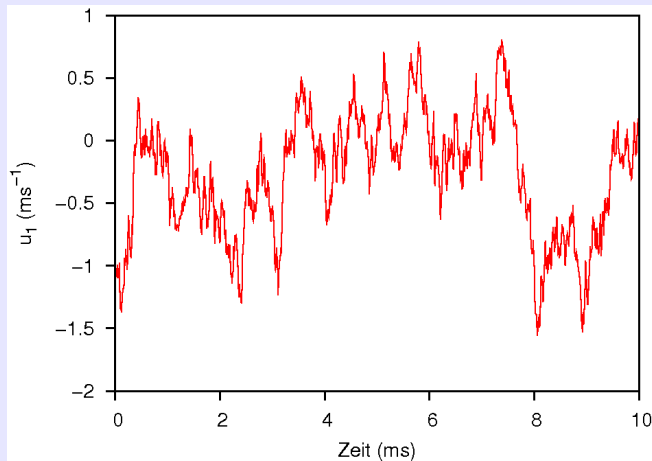


Korrelationsfunktion

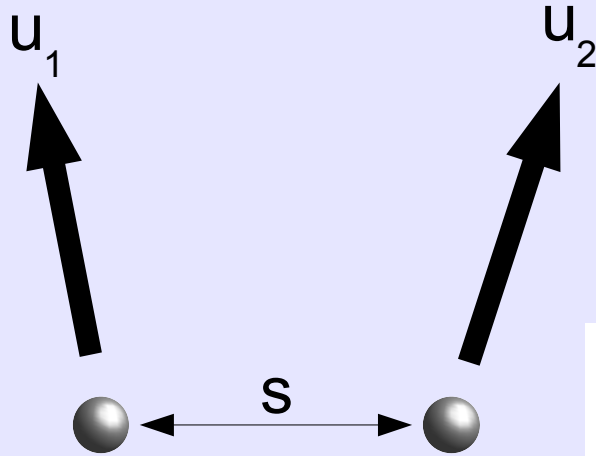
Korrelationsfunktion



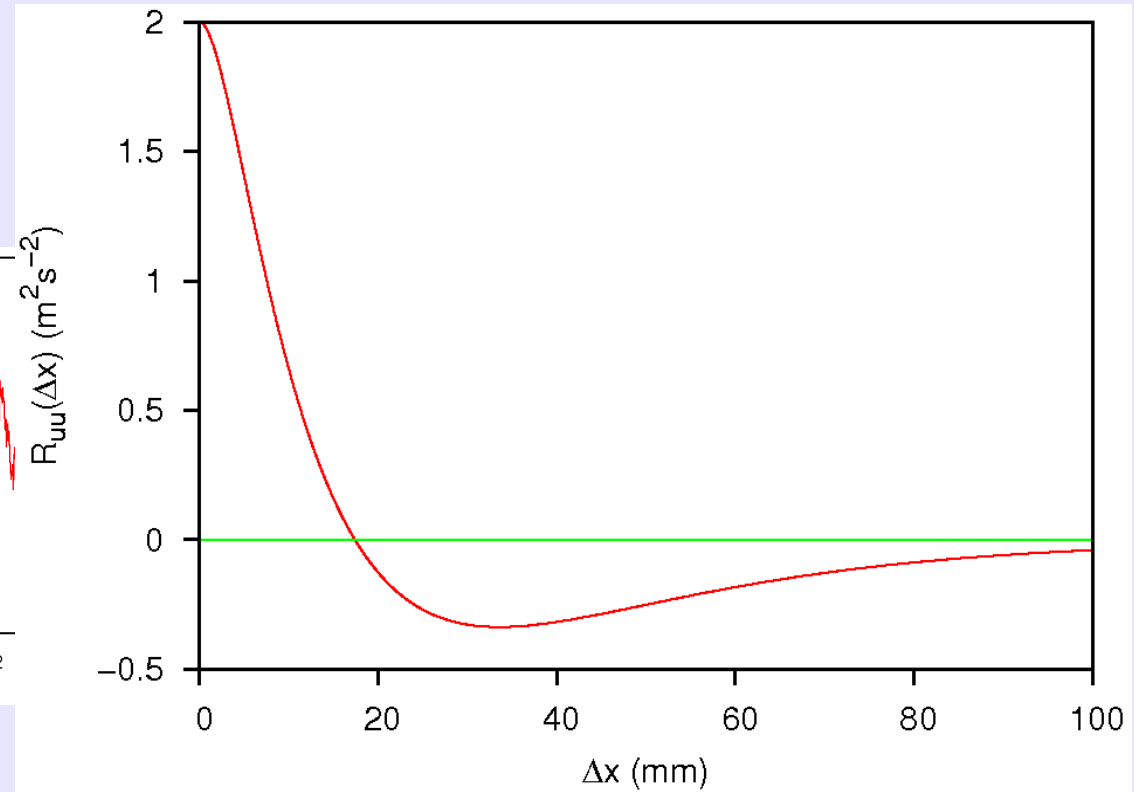
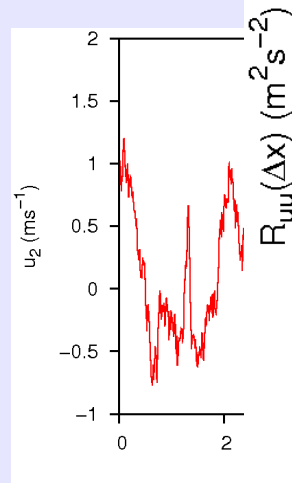
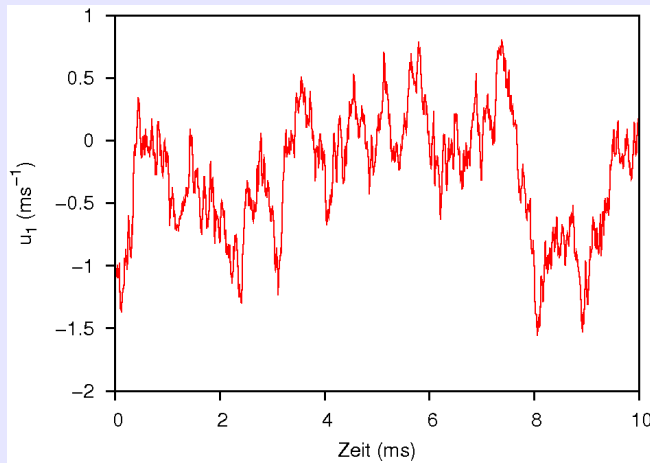
u_1	u_2	$u_1 \cdot u_2$
+	+	+
+	-	-
-	+	-
-	-	+
0		



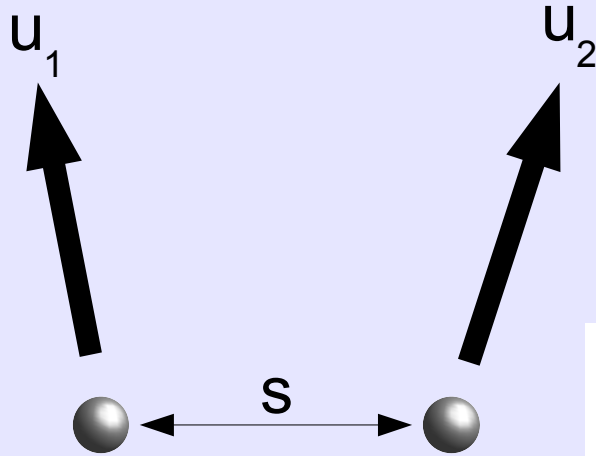
Korrelationsfunktion



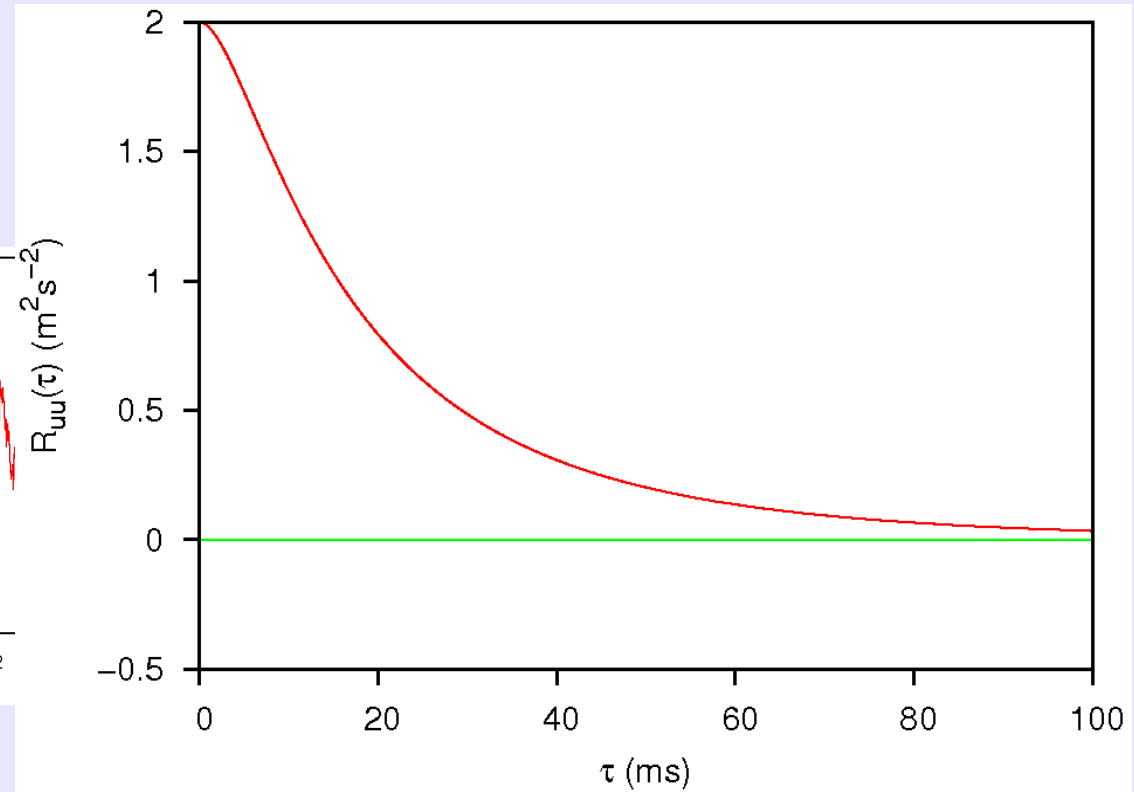
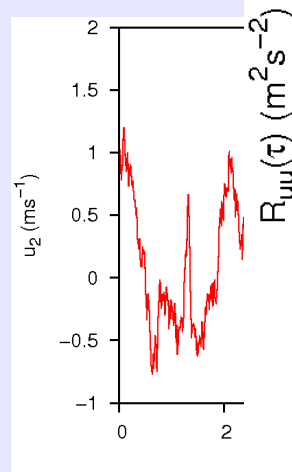
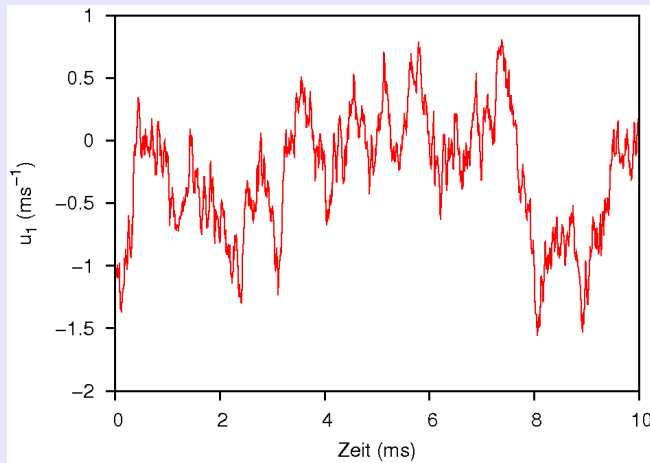
$$R_{u_1 u_2}(\Delta x) = E\{u_1(x) u_2(x + \Delta x)\}$$



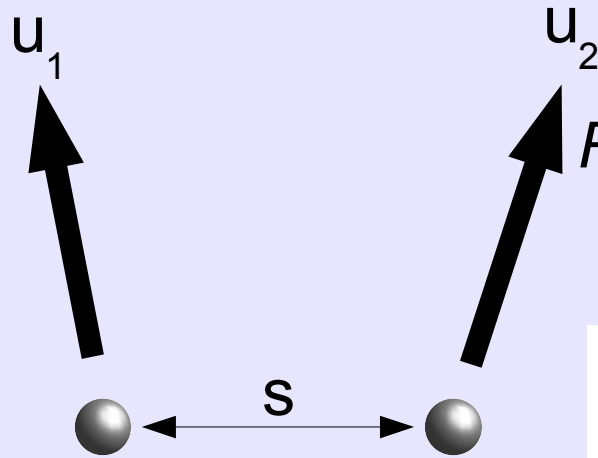
Korrelationsfunktion



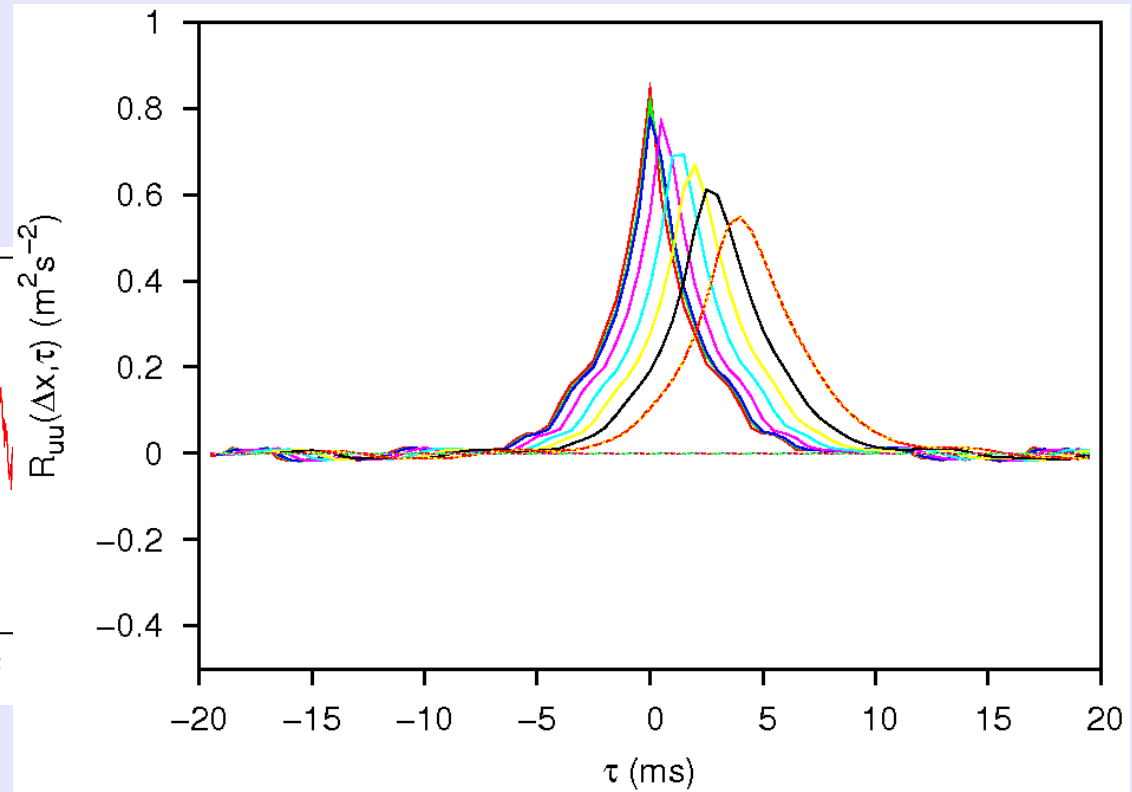
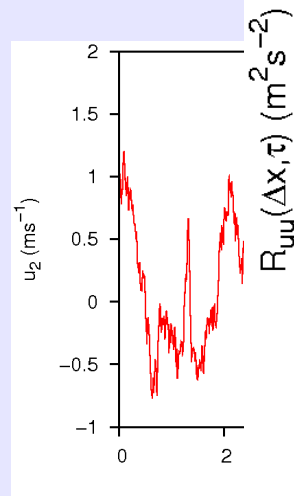
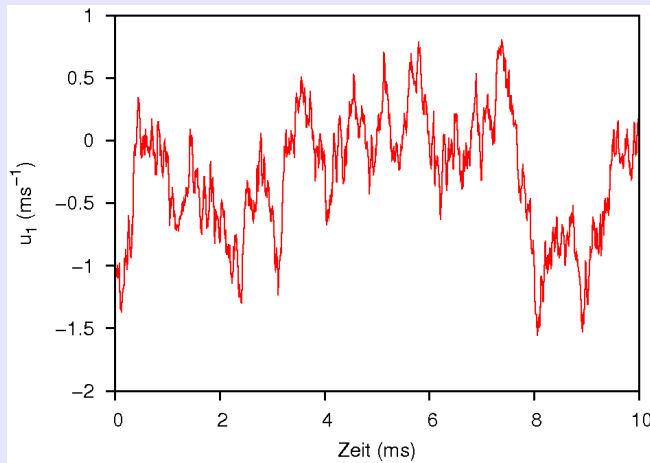
$$R_{u_1 u_2}(\tau) = E\{u_1(t)u_2(t+\tau)\}$$



Korrelationsfunktion



$$R_{u_1 u_2}(\Delta x, \tau) = E\{u_1(x, t) u_2(x + \Delta x, t + \tau)\}$$

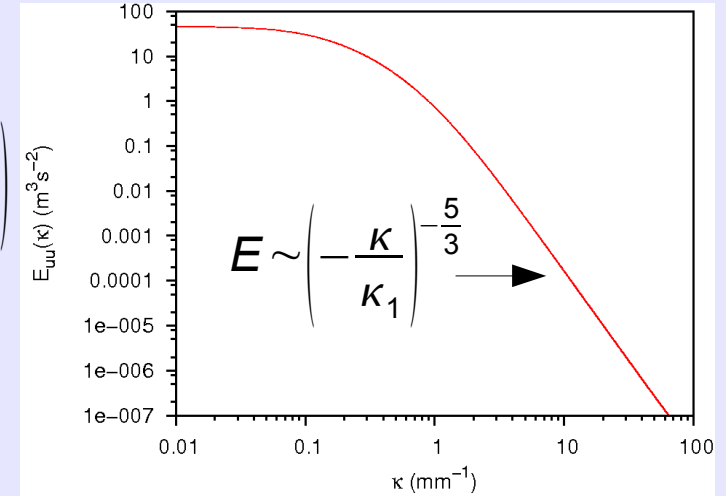
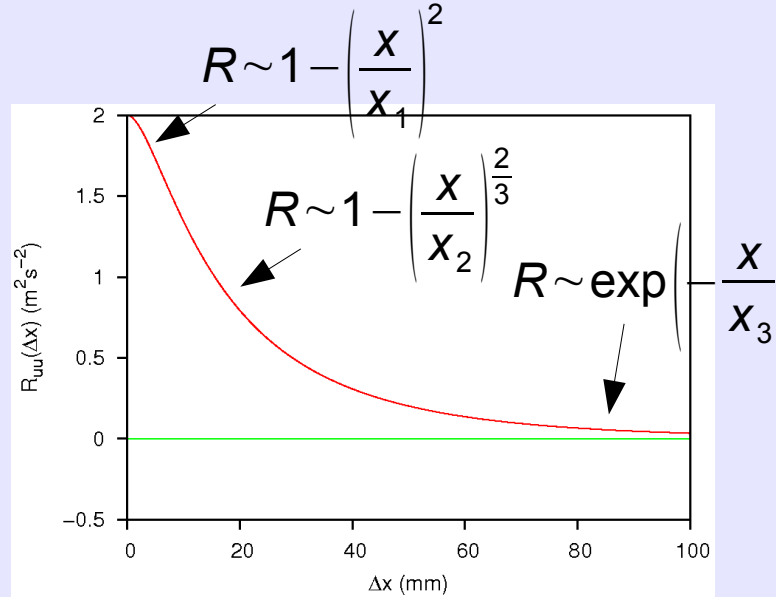


Korrelationsfunktion

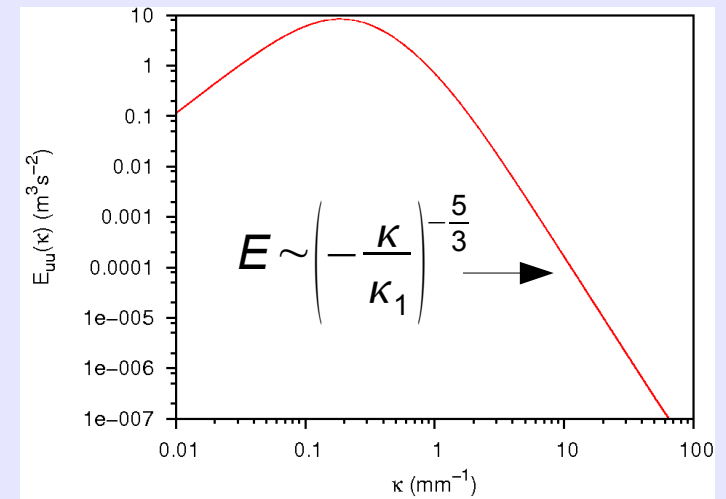
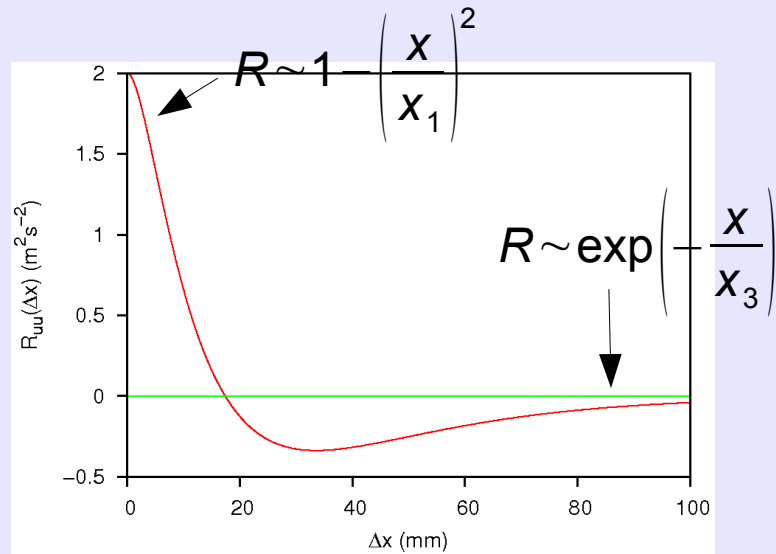
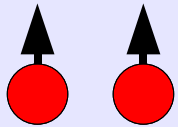


Turbulenzspektrum

f-Korrelation



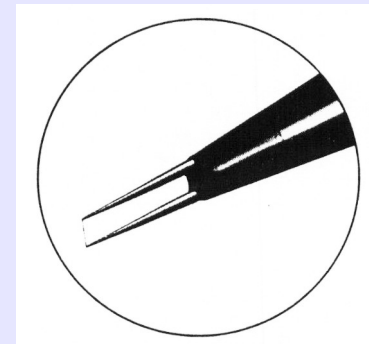
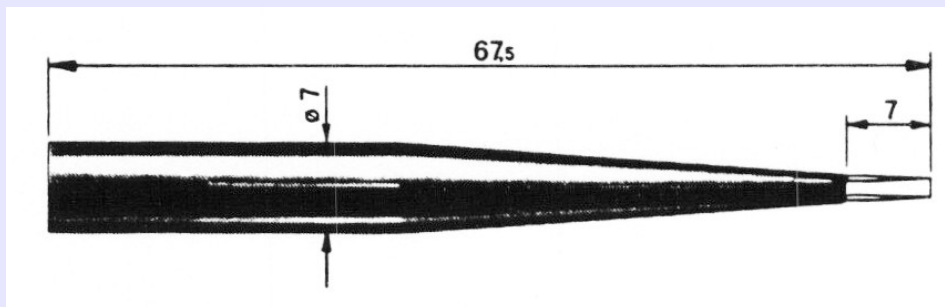
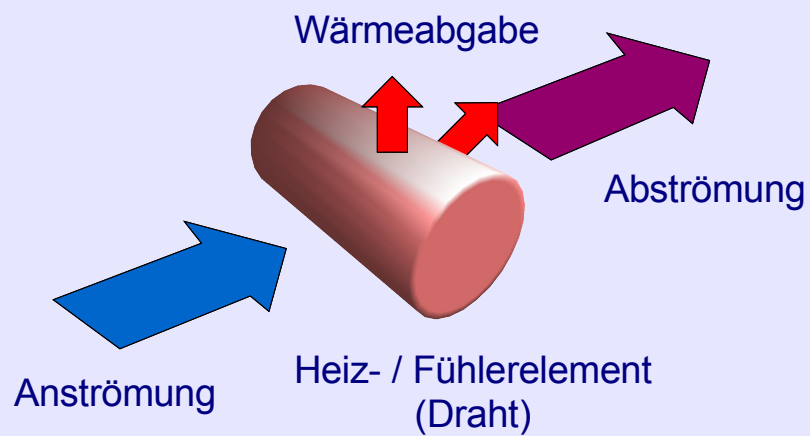
g-Korrelation



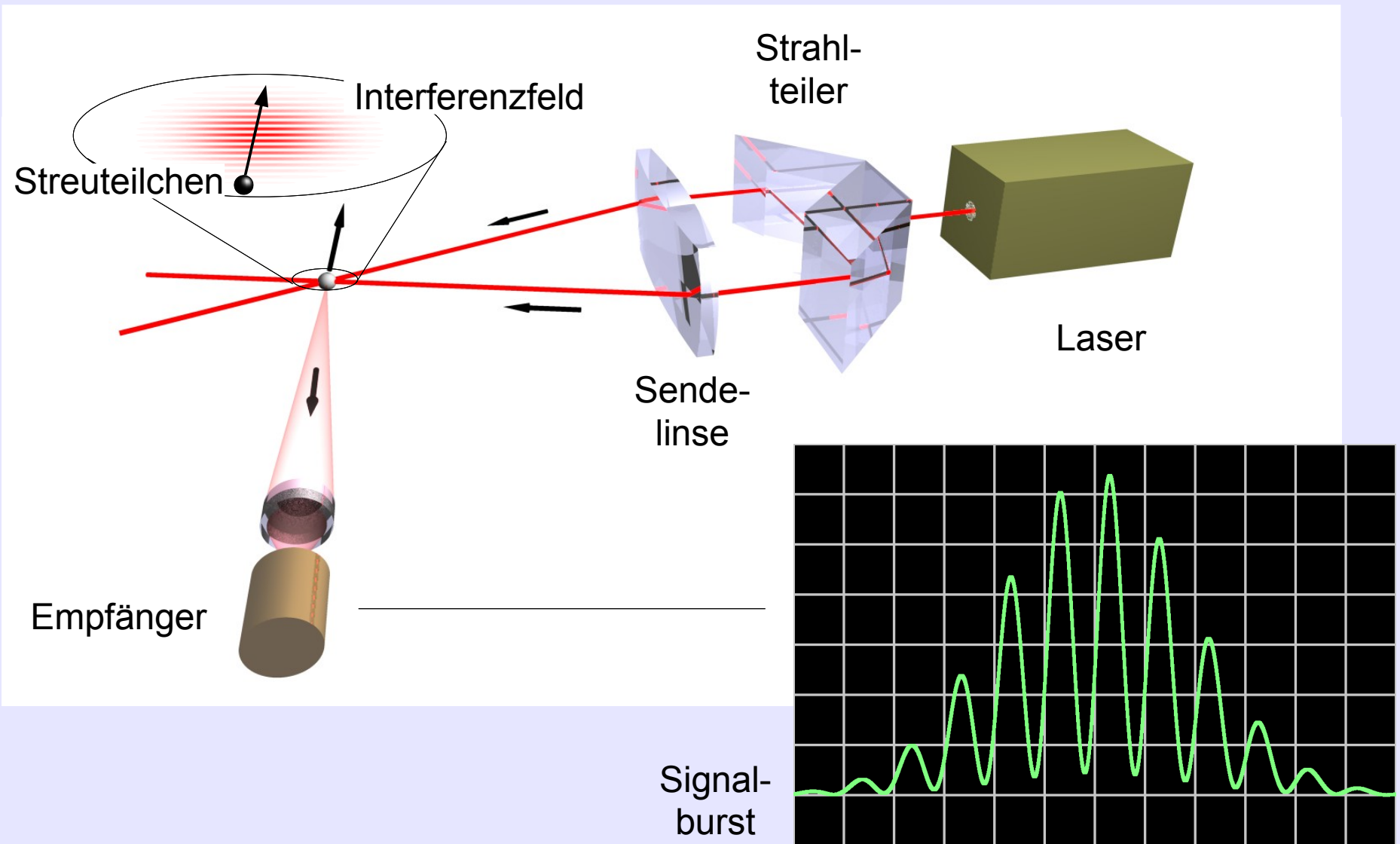
Turbulenzspektrum



Hitzdrahtanemometer

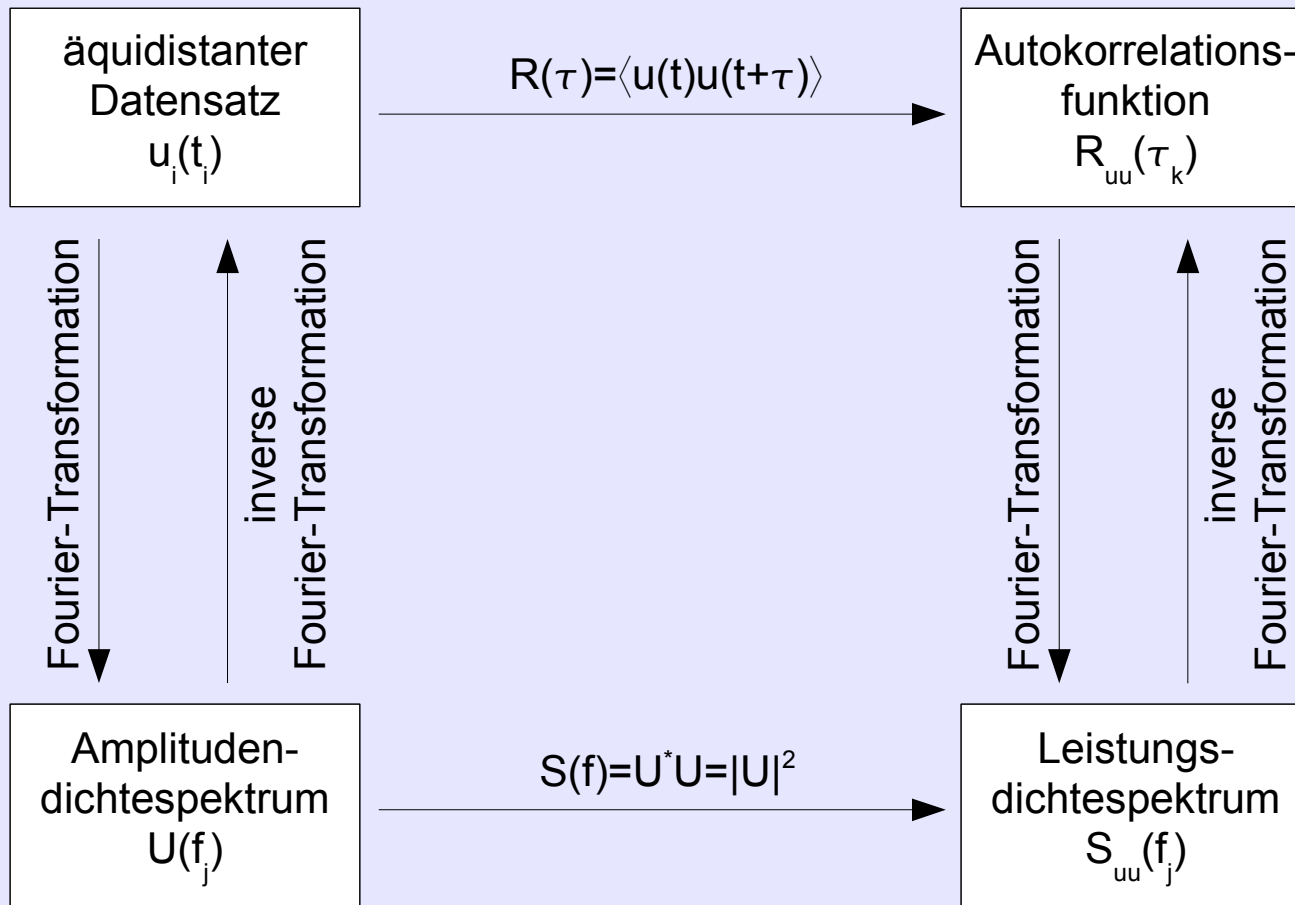
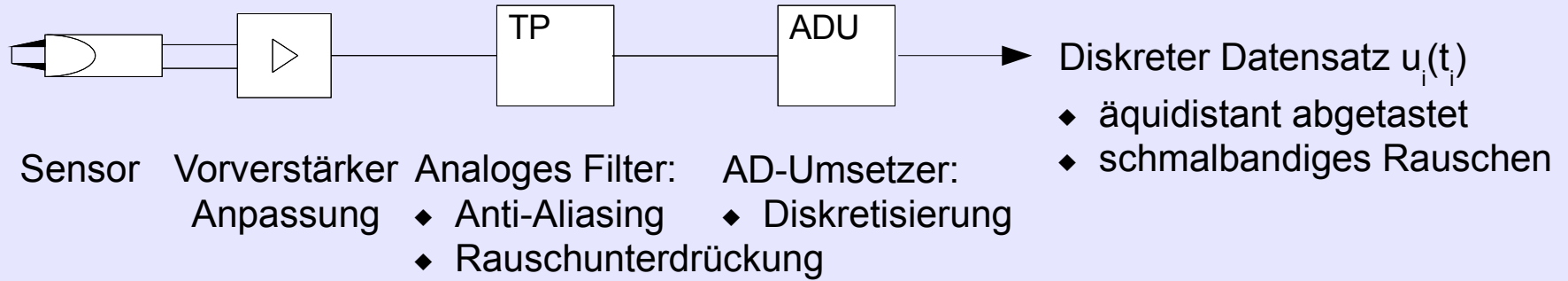


Laser-Doppler-Anemometer



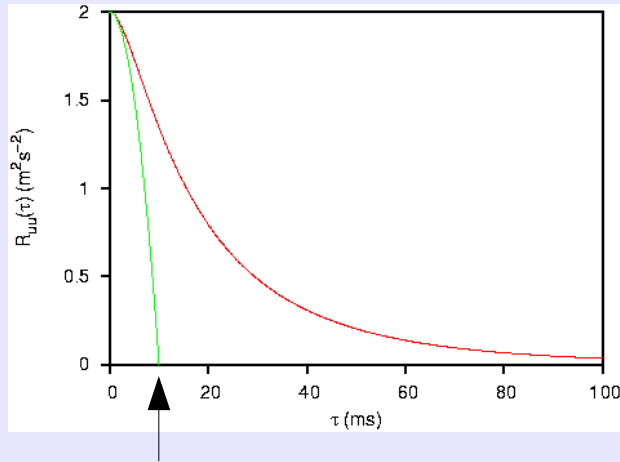
Datensatzaufnahme und -verarbeitung in der Strömungsmesstechnik

Hitzdrahtanemometer



Zeitliche Kennfunktionen

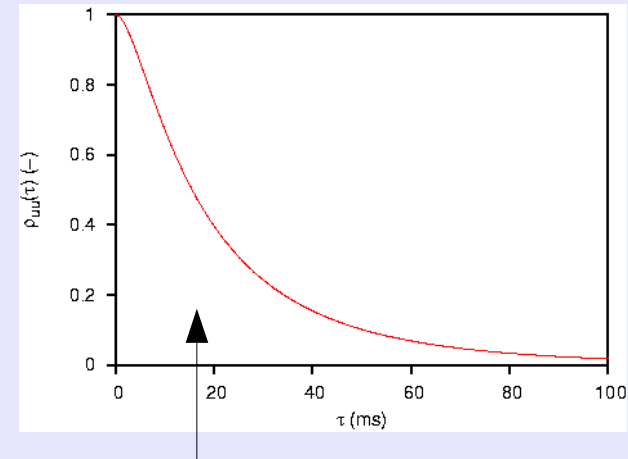
zeitliche Autokorrelationsfunktion



Taylor-Zeitmaß T_λ

Normierung

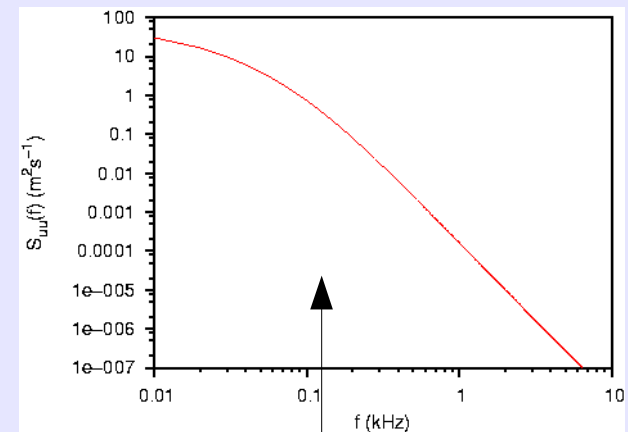
Korrelationskoeffizient



integrales Zeitmaß T_L

Fourier-Transformation

spektrale Leistungsdichte



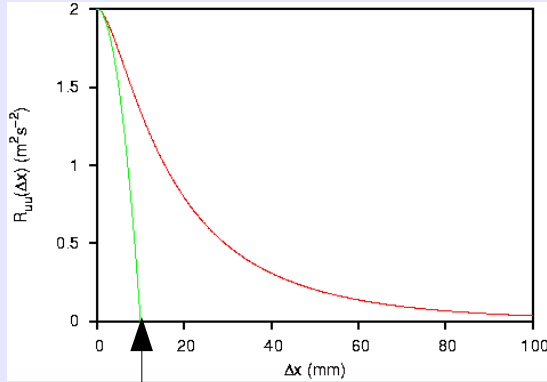
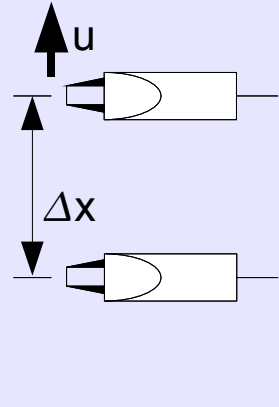
Varianz

Zeitliche Kennfunktionen



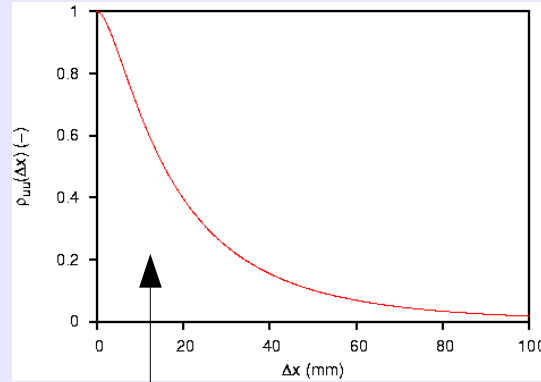
Räumliche Kennfunktionen

räumliche Korrelationsfunktion



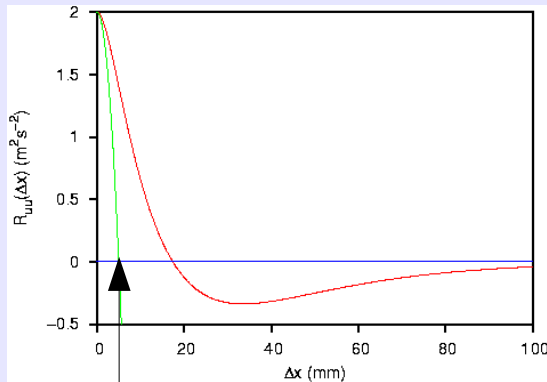
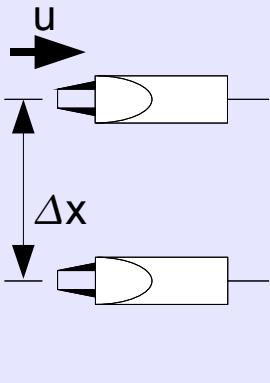
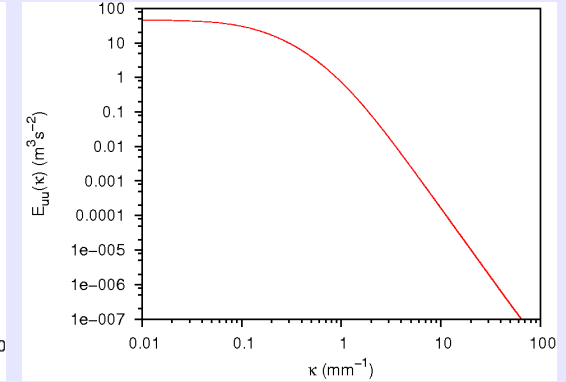
Taylor-Mikromaß λ_f

räumlicher Korrelationskoeffizient

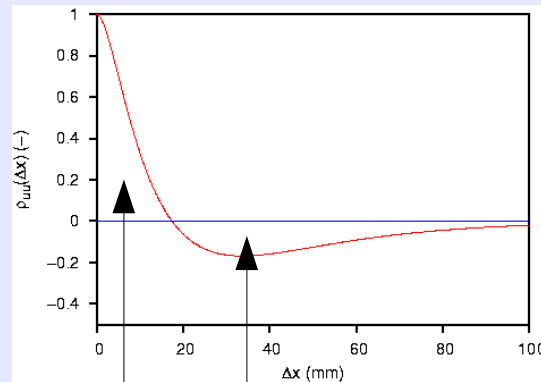


integrales Längenmaß L_f

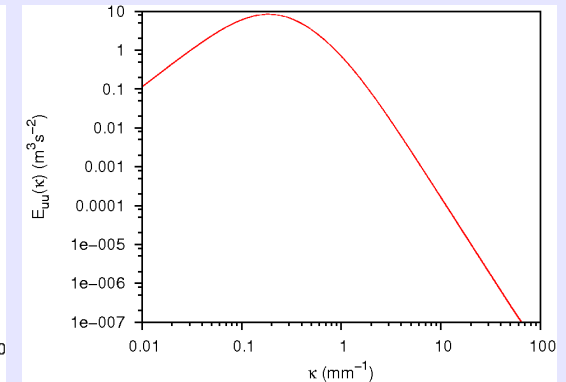
Wellenzahlspektrum



Taylor-Mikromaß λ_g



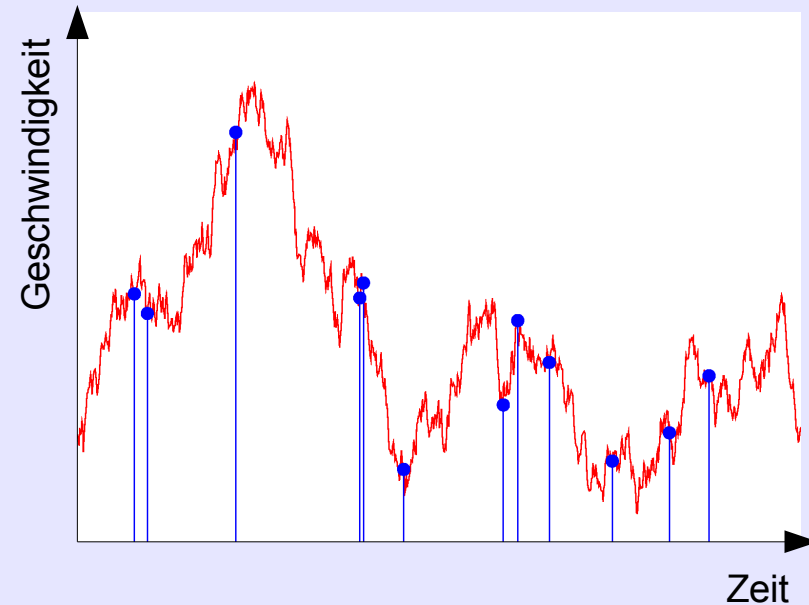
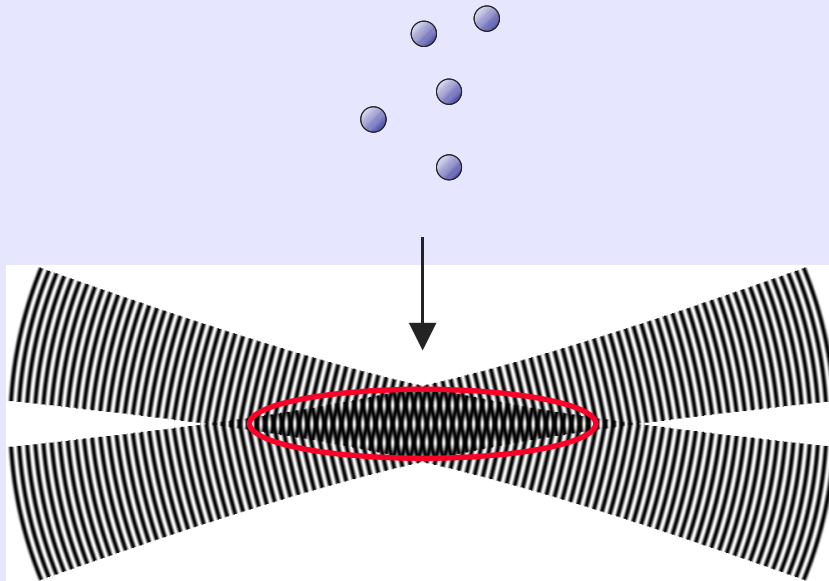
integrales Längenmaß L_g



Abschätzung der Dissipationsrate ϵ

Räumliche Kennfunktionen

LDA-Datensatz



Einzelteilchenmessung

Unsicherheit der Frequenzschätzung

Korrelation zw. Teilchenrate und Geschwindigkeit

Interferenz des Streulichtes verschiedener Teilchen

⇒ zufällig abgetastete Zeitreihe

⇒ breitbandiges Rauschen

⇒ Korrelation zw. Datenrate und Geschwindigkeit

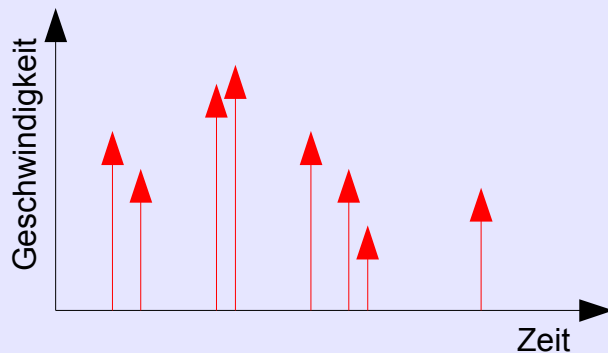
⇒ Prozessortzeit

Strategien für die Auswertung von unregelmäßig abgetasteten Datensätzen

unregelmäßig abgetasteter Datensatz

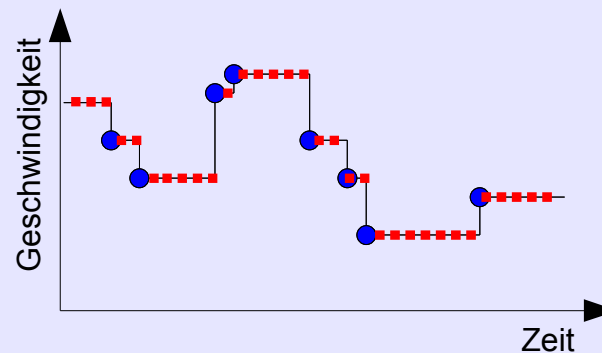
Direkte Verarbeitung

- ◆ Mathematische Beschreibung des Signals (z.B. Folge von Dirac-Impulsen)
- ◆ Berücksichtigung der unregelmäßigen Abtastung
- ◆ Entwicklung geeigneter Schätzer



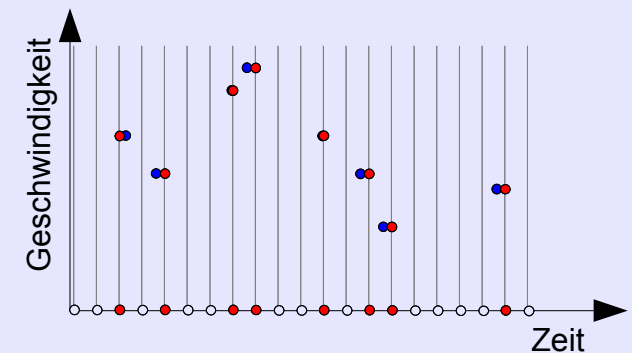
Signalrekonstruktion und regelmäßige Wiederabtastung

- ◆ Wahl einer geeigneten Rekonstruktions- bzw. Interpolationsvorschrift
- ◆ Klassische Datenverarbeitung



Transformation in einen dünn besetzten Datensatz

- ◆ Quantisierung der Abtastzeitpunkte oder -intervalle
- ◆ Berücksichtigung von Signallücken
- ◆ Schätzer aus der Prozessidentifikation

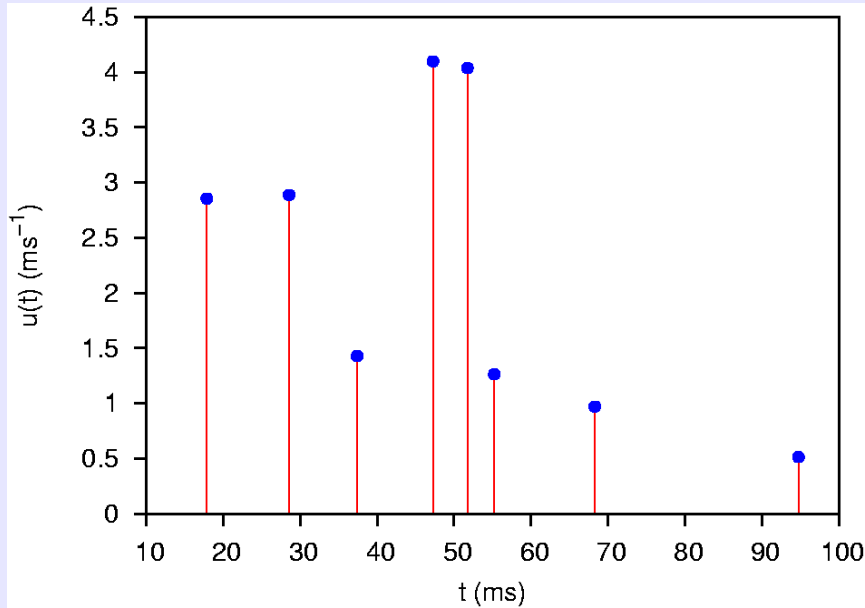


Auswertestrategien

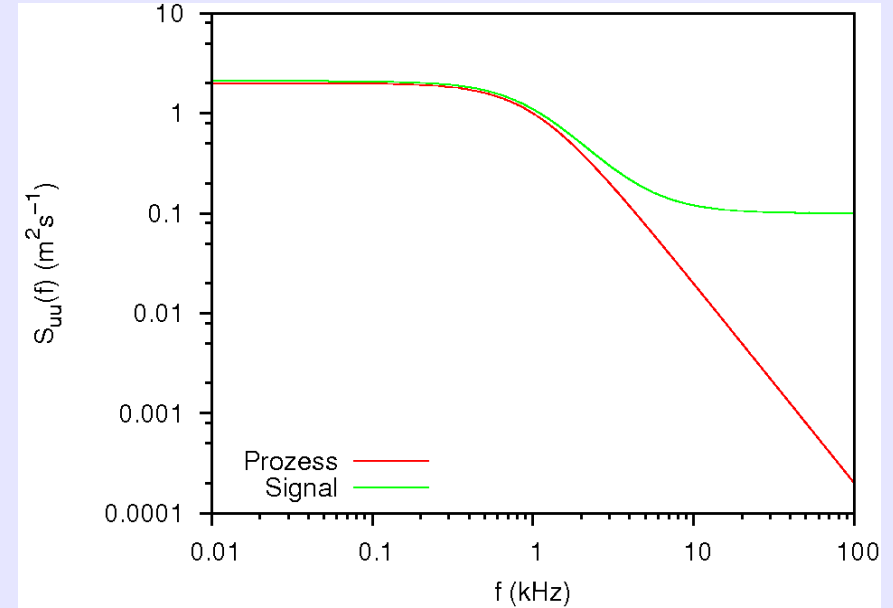


MPIDS

◆ Prinzip der direkten Spektralanalyse



◆ Systematischer Fehler aufgrund der unregelmäßigen Abtastung



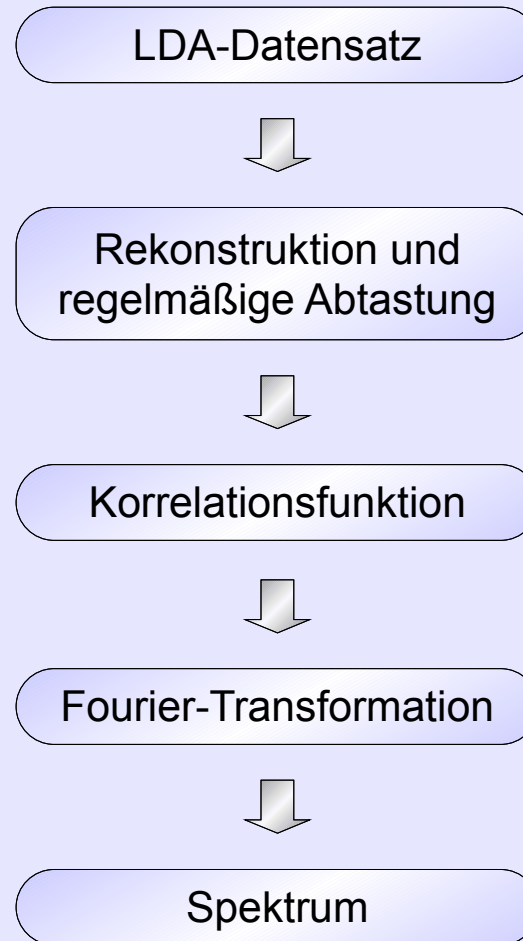
$$S_S(f) \stackrel{\text{def}}{=} \frac{1}{T} \left| \int_0^T u(t) e^{-2\pi j f t} dt \right|^2 = \frac{T}{N^2} \left| \sum_{i=1}^N u_i e^{-2\pi j f t_i} \right|^2$$

Fehlerabschätzung: $E\{S_S\} = S_P + \frac{T}{N} \sigma_u^2$

Korrektur: $\hat{S}_P(f) = \frac{T}{N^2} \left(\left| \sum_{i=1}^N u_i e^{-2\pi j f t_i} \right|^2 - \sum_{i=1}^N u_i^2 \right)$

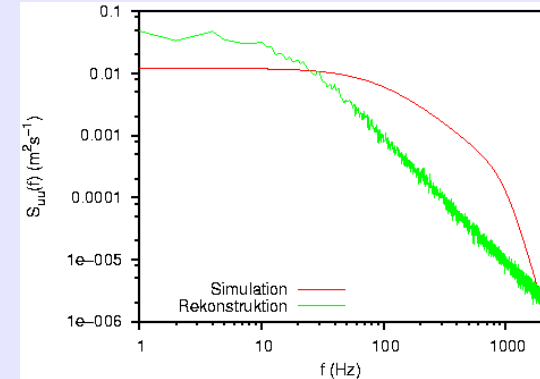
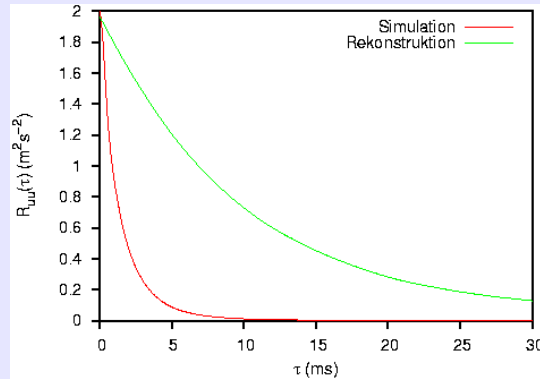
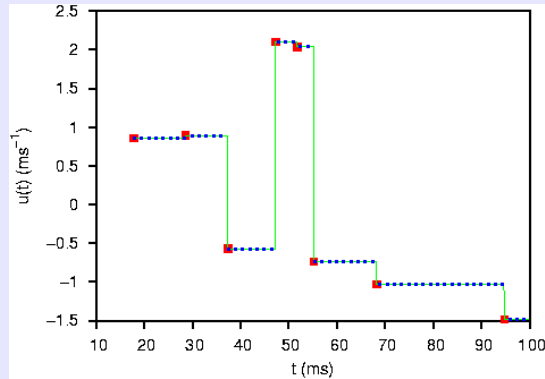
[GAS77]

◆ Ablauf

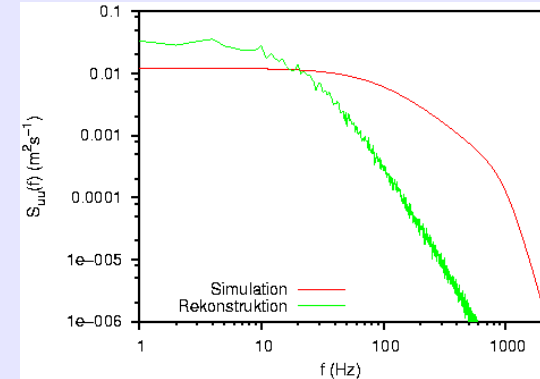
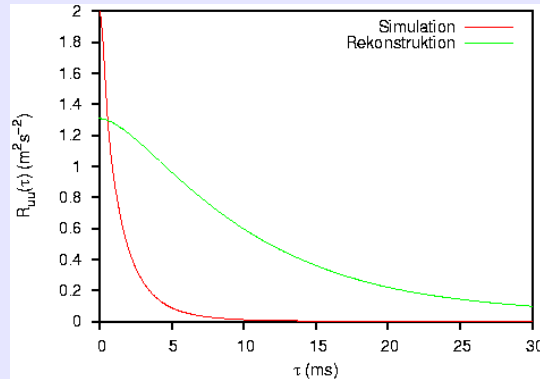
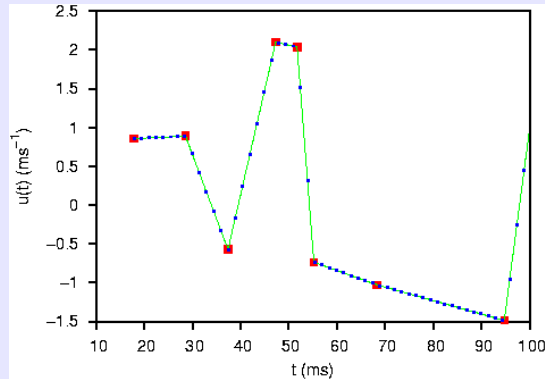


Auswirkung der Rekonstruktion

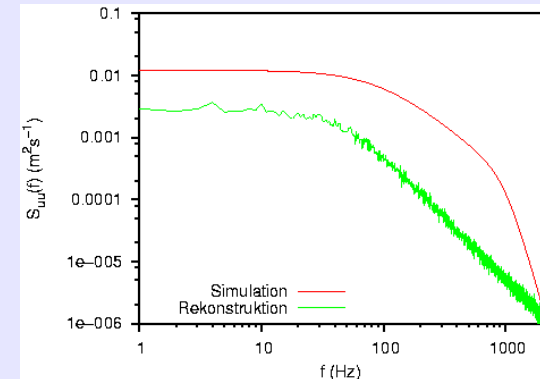
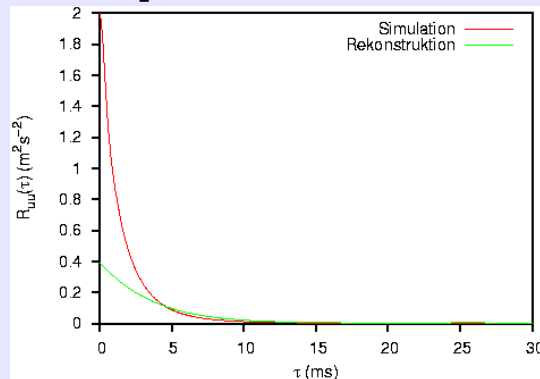
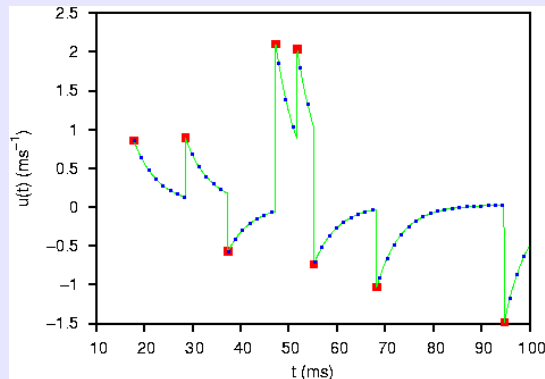
◆ Sample-and-Hold-Rekonstruktion



◆ lineare Interpolation



◆ exponentielle Rekonstruktion [HOS94]

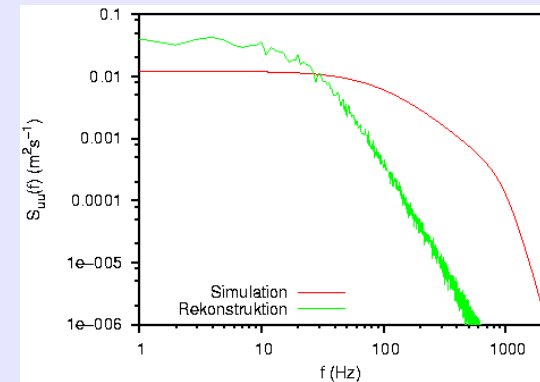
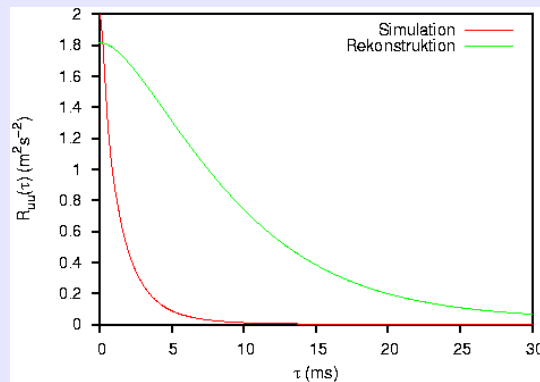
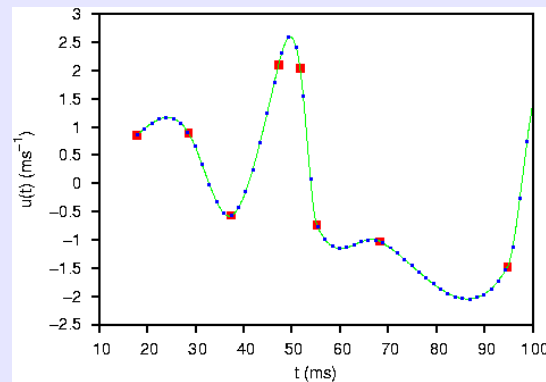


Tiefpasswirkung der Rekonstruktion



Auswirkung der Rekonstruktion

◆ Spline-Interpolation

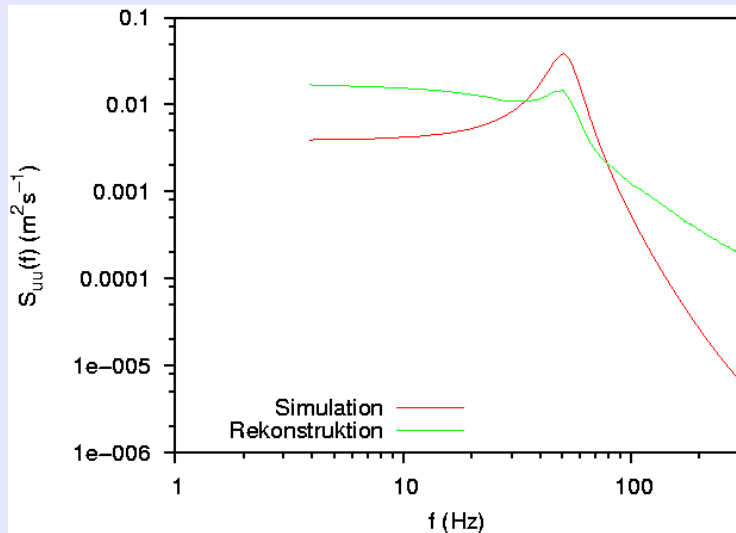
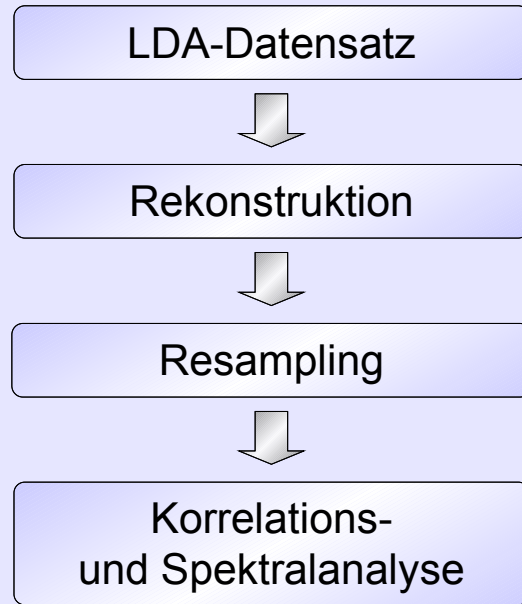


- ◆ Kalman-Rekonstruktion [BEN95,MAA94]
- ◆ Shannon-Rekonstruktion [CLA85,VEY88]
- ◆ Anpassung einer bandbegrenzten Funktion (POCS) [LEE92,KUO92,SAU87,YEH90]
- ◆ fraktale Rekonstruktion [STR88,STR91,CHA92]

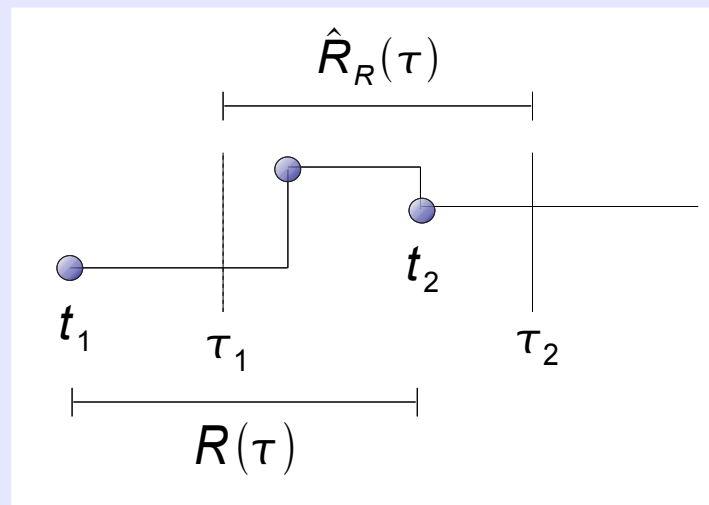
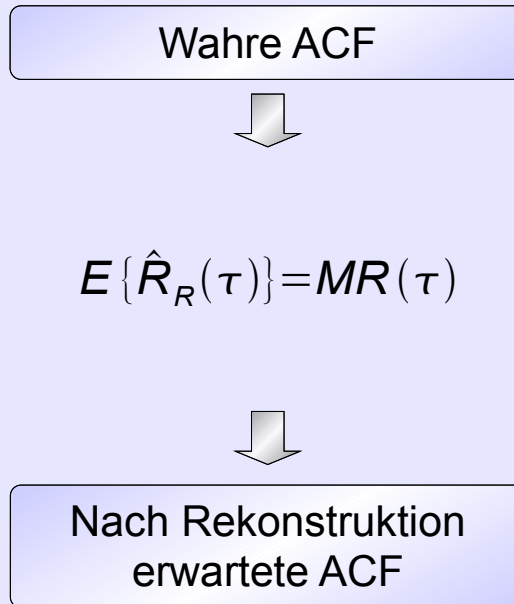
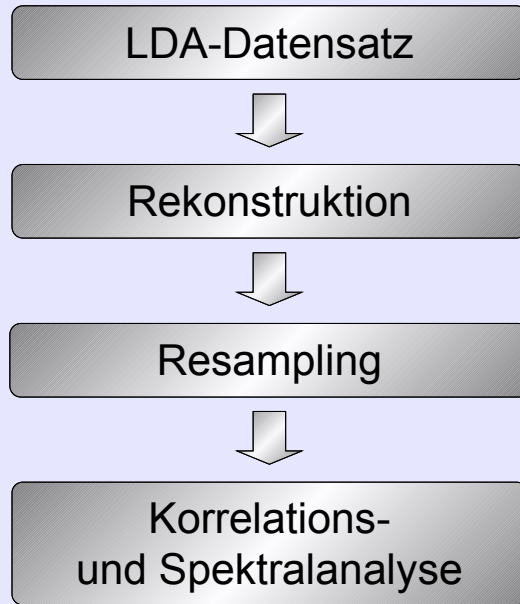
Allen Rekonstruktionen (unabhängig von der Rekonstruktionsvorschrift) ist gemeinsam:

- ◆ Bei hoher Datenrate sind alle Verfahren geeignet, aus dem unregelmäßig abgetasteten LDA-Datensatz einen regelmäßig abgetasteten Datensatz zu erzeugen, der die spektralen Eigenschaften des Strömungsprozesses widerspiegelt.
- ◆ Bei geringer Datenrate verändern sich die spektralen Eigenschaften. Der spektrale Charakter des Rekonstruktionsergebnisses wird direkt und unabhängig vom zugrundeliegenden Strömungsprozess von der verwendeten Rekonstruktionsvorschrift und der Datenrate bestimmt.

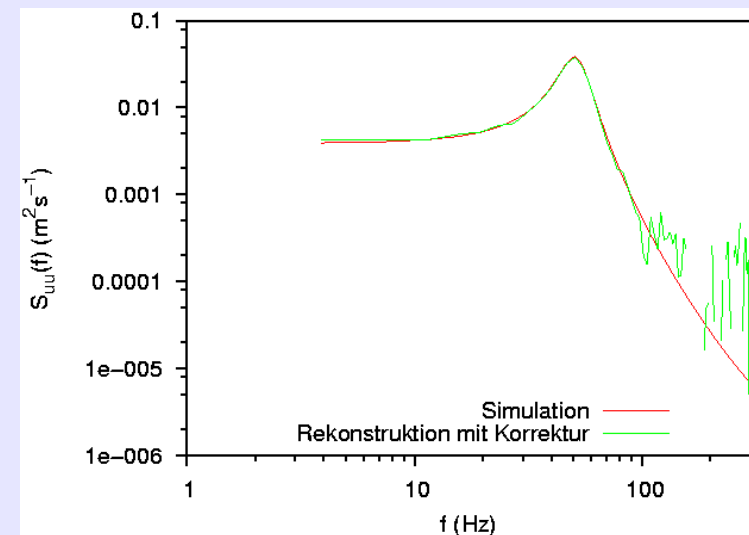
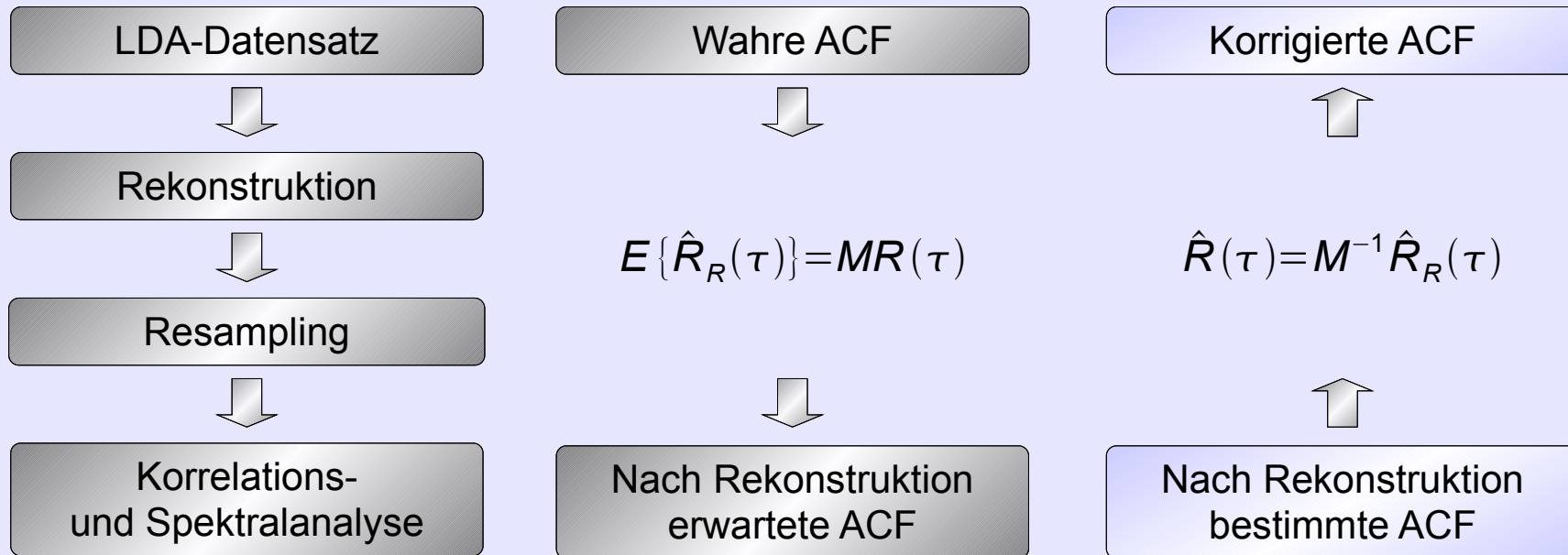
1. Analyse des rekonstruierten Datensatzes



2. Abschätzung des Filters



3. Korrektur



- ◆ Sample-and-Hold-Rekonstruktion

- ◆ Rekonstruktionsvorschrift
- ◆ Interpolationsfilter

$$u_R(t) = u_i \quad t_i \leq t < t_{i+1}$$

$$E\{\hat{R}_R(\tau_k)\} = e^{-\dot{n}\tau_k} \left\{ R(0) + \frac{(e^{\dot{n}\Delta\tau} - 1)^2}{1 - e^{2\dot{n}\Delta\tau}} \sum_{\xi=1}^{\infty} e^{-\dot{n}\tau_\xi} (1 - e^{2\dot{n}\min(k,\xi)\Delta\tau}) R(\tau_\xi) \right\}$$

- ◆ Korrektur

$$\hat{R}(\tau_k) = \begin{cases} \hat{R}_R(0) & \text{für } k=0 \\ (2c+1)\hat{R}_R(\tau_k) - c[\hat{R}_R(\tau_{k-1}) + \hat{R}_R(\tau_{k+1})] & \text{sonst} \end{cases} \quad c = \frac{e^{-\dot{n}\Delta\tau}}{(1 - e^{-\dot{n}\Delta\tau})^2}$$

- ◆ Proportional-Ein-Punkt-Rekonstruktion (exp., Korrelationskoeffizient, S&H)

- ◆ Rekonstruktionsvorschrift
- ◆ Interpolationsfilter

$$u_R(t) = u_i f_R(t - t_i) \quad t_i \leq t < t_{i+1}$$

$$E\{\hat{R}_R(\tau_k)\} = R(0) \sum_{i=-\infty}^0 f_R(-\tau_i) f_R(\tau_k - \tau_i) (1 - e^{-\dot{n}\Delta\tau}) e^{-\dot{n}(\tau_k - \tau_i)} + \sum_{\xi=1}^{\infty} R(\tau_\xi) \sum_{i=1}^{\min(k,\xi)} f_R(\tau_\xi - \tau_i) f_R(\tau_k - \tau_\xi) (1 - e^{-\dot{n}\Delta\tau})^2 e^{-\dot{n}(\tau_k - 2\tau_i + \tau_\xi)}$$

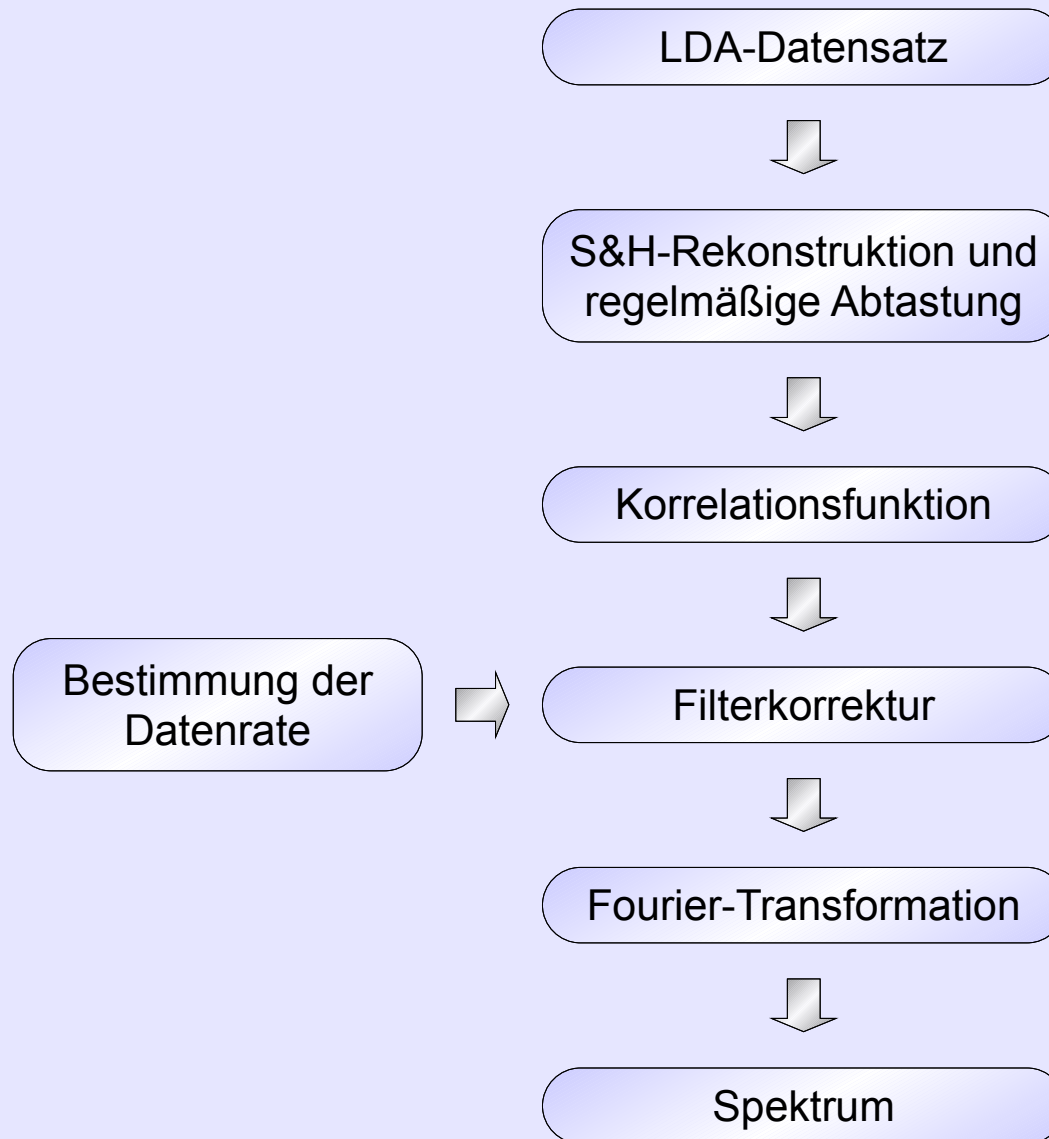
- ◆ Korrektur erfolgt numerisch durch Lösung des linearen Gleichungssystems

- ◆ andere Interpolationen

- ◆ prinzipiell auch für andere Interpolationen geeignet
- ◆ numerischer Aufwand steigt mit der Anzahl der verwendeten Stützstellen stark an
- ◆ geringer Gewinn gegenüber Sample-and-Hold-Interpolation



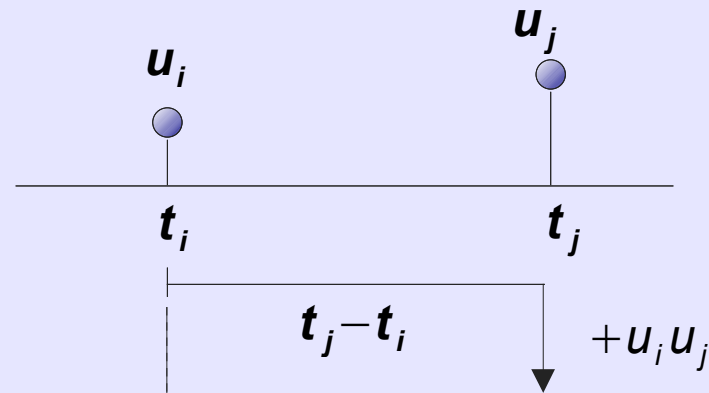
◆ Ablauf mit Filterkorrektur



◆ Grundprinzip [GAS75, MAY74, 78, SCO74]

$$i=1\dots N$$

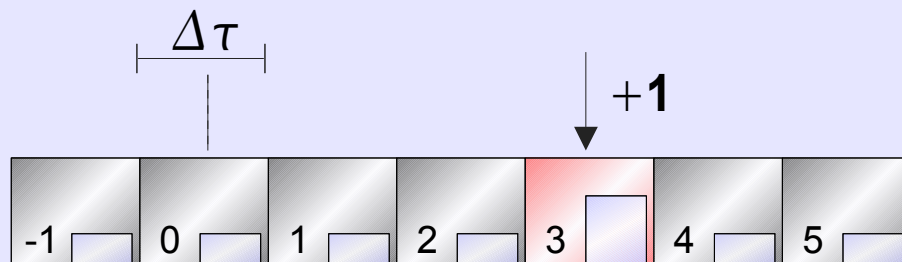
$$j=1\dots N \quad j \neq i$$



$$z_k = \sum_{i=1}^N \sum_{\substack{j=1 \\ j \neq i}}^N u_i u_j b_k(t_j - t_i)$$



$$n_k = \sum_{i=1}^N \sum_{\substack{j=1 \\ j \neq i}}^N b_k(t_j - t_i)$$



$$b_k(\Delta t) = \begin{cases} 1 & \text{für } (k-1/2)\Delta\tau \leq \Delta t < (k+1/2)\Delta\tau \\ 0 & \text{sonst} \end{cases}$$

AKF

$$\hat{R}_k = z_k / n_k$$

◆ Fehler

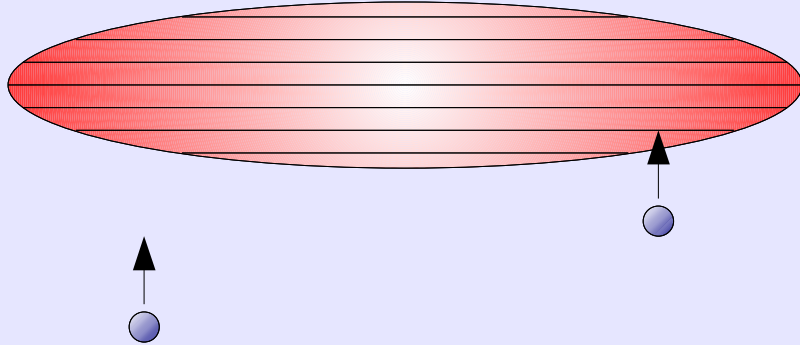
- ◆ Geschwindigkeitsbias
 - ◆ Mittelung über Slotbreite
 - ◆ Normierungsfehler
 - ◆ Totzeit
 - ◆ Datenrauschen
-
- ◆ Räumliche Ausdehnung des Messvolumens

◆ Korrektur

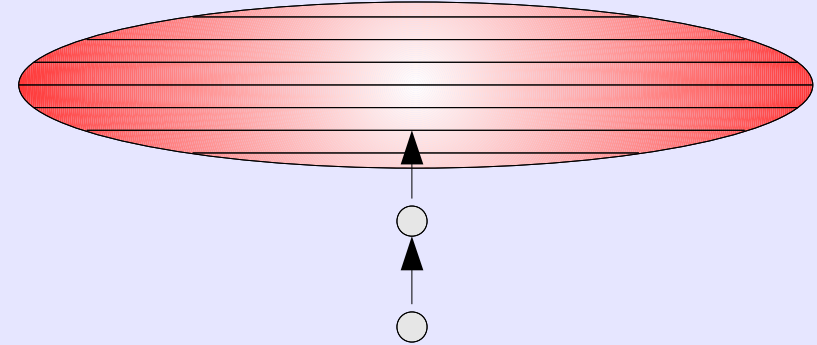
- ◆ Wichtung
- ◆ Fuzzy Slotting
- ◆ Local Normalization
- ◆ Local Time Estimation
- ◆ Re-Normierung + Modellanpassung

◆ Bias durch räumliche Ausdehnung des Messvolumens

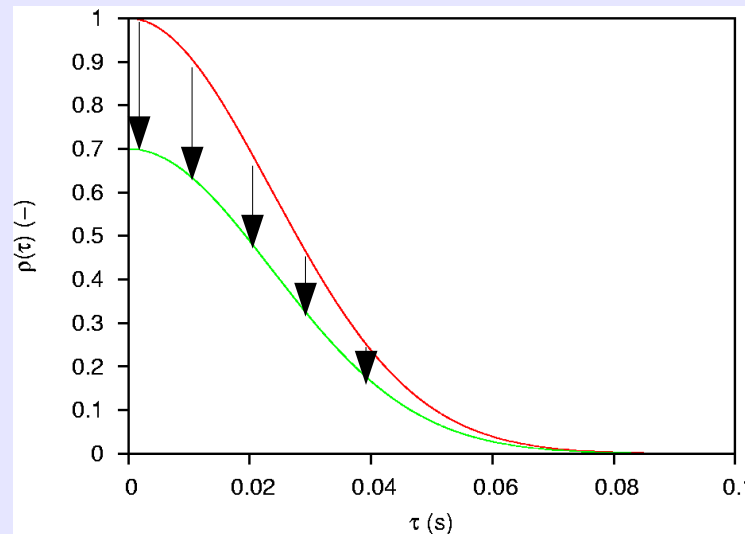
- ◆ Zwei kurz aufeinanderfolgende Teilchen mit großem Abstand quer zur Strömung



- ◆ Wertung wie zwei aufeinanderfolgende Teilchen ohne Abstand quer zur Strömung

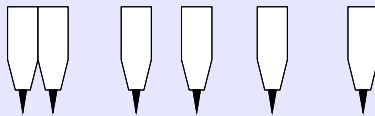


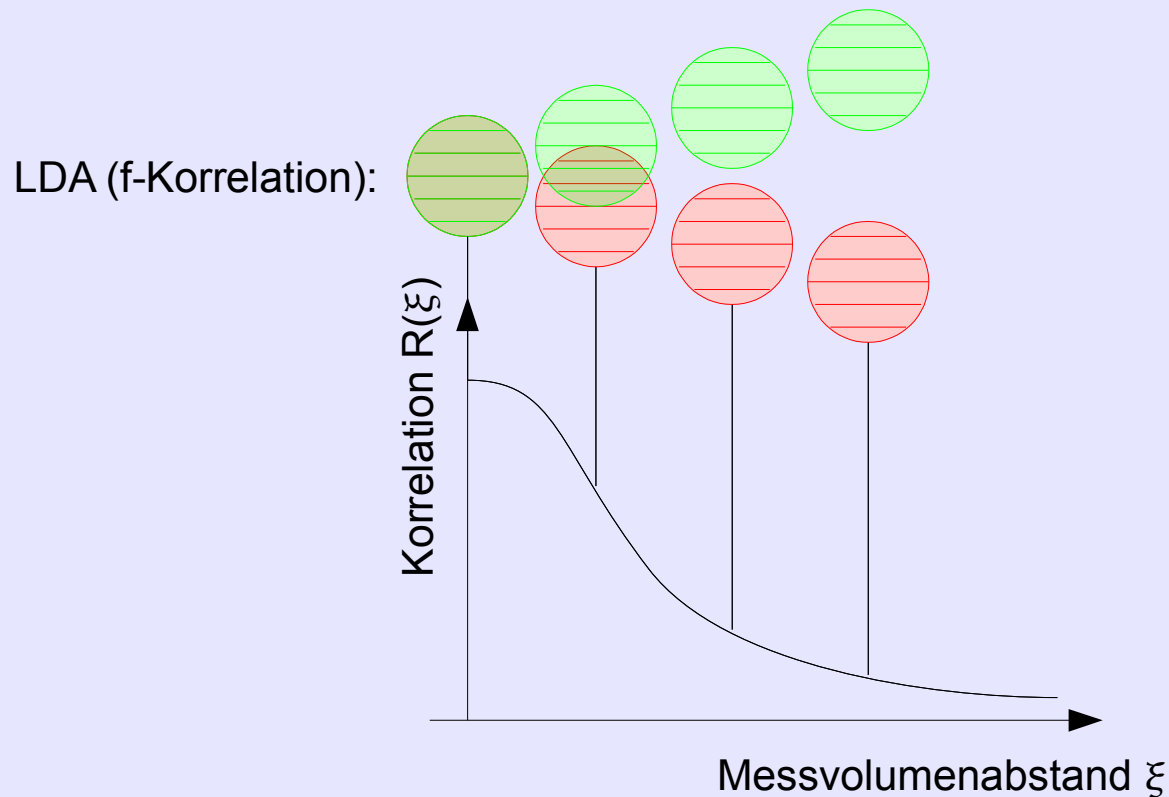
- ◆ Verringerung der f-Korrelation



- ◆ Auswirkung und Korrektur wie Datenrauschen

◆ Multi-Punkt-Messung

HDA (g-Korrelation): ? 



- ◆ Vorteil:
 - ◆ direkte Messung der räumlichen Korrelation
- ◆ Nachteile:
 - ◆ zwei oder mehr Sensoren
 - ◆ begrenzte räumliche Auflösung
 - ◆ zeitliche Korrelationen bleiben ungenutzt
 - ◆ hoher Justage- und Kalibrieraufwand
 - ◆ hoher zeitlicher Aufwand (mechanische Traversierung und wiederholte Messung)
 - ◆ hohe Anforderungen an die Langzeitstabilität
 - ◆ Probleme durch Rückwirkung der Sonden

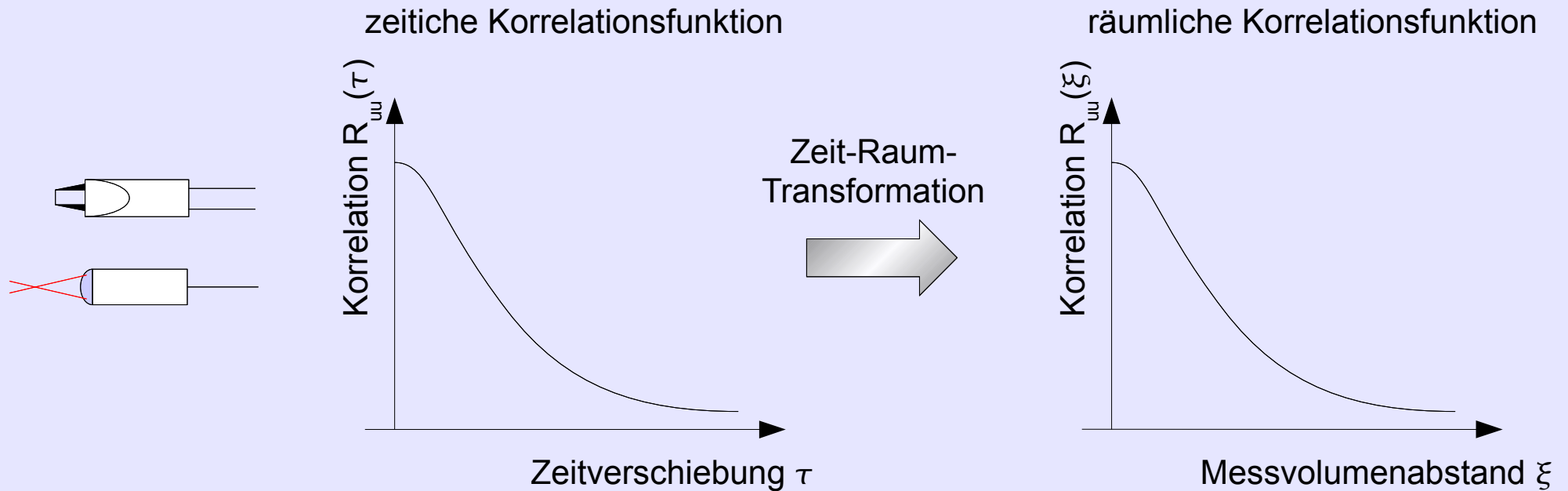
◆ Zeit-Raum-Transformation

◆ Vorteile:

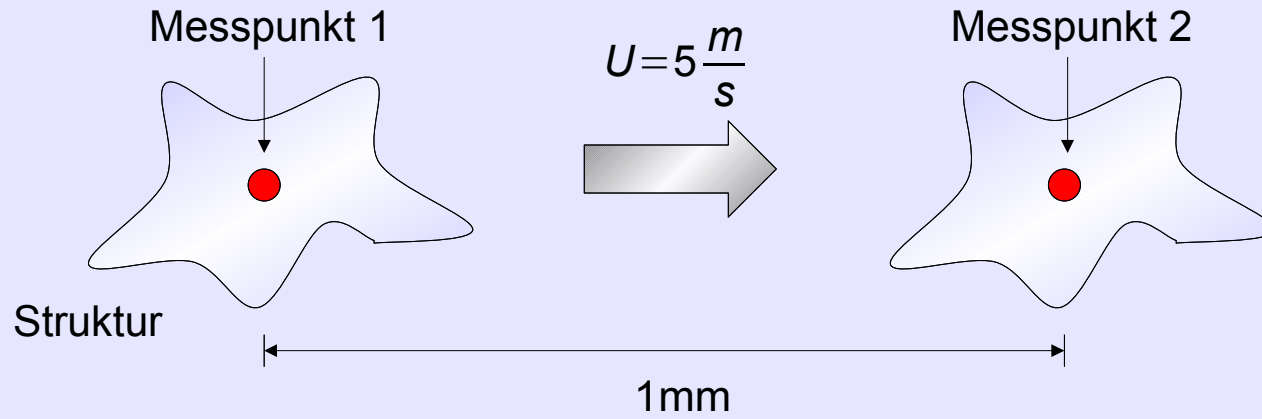
- ◆ schnelle Messwertaufnahme
- ◆ nur eine Sonde erforderlich
- ◆ hohe zeitliche und räumliche Auflösung
- ◆ einfache Bestimmung von Raum-Zeit-Korrelationen

◆ Nachteile:

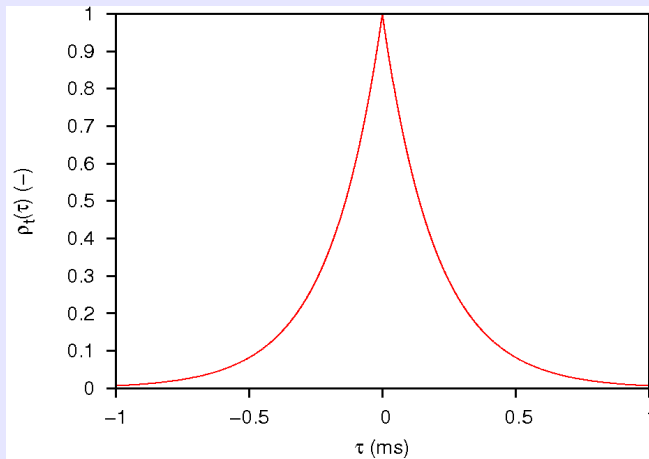
- ◆ Annahme von bestimmten Voraussetzungen
- ◆ nur Längskorrelationen (bei einkomponentiger Messung)



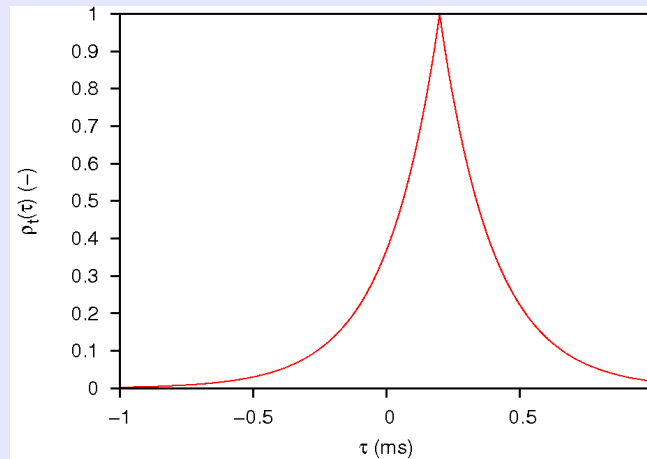
◆ Taylor-Hypothese



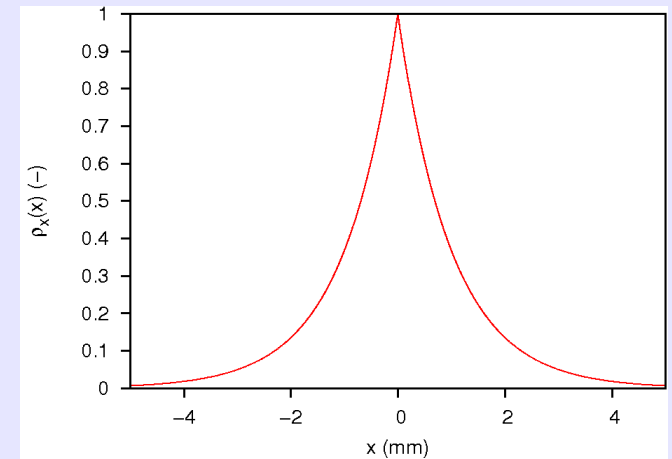
Zeitliche Autokorrelationsfunktion



Zeitliche Kreuzkorrelationsfunktion



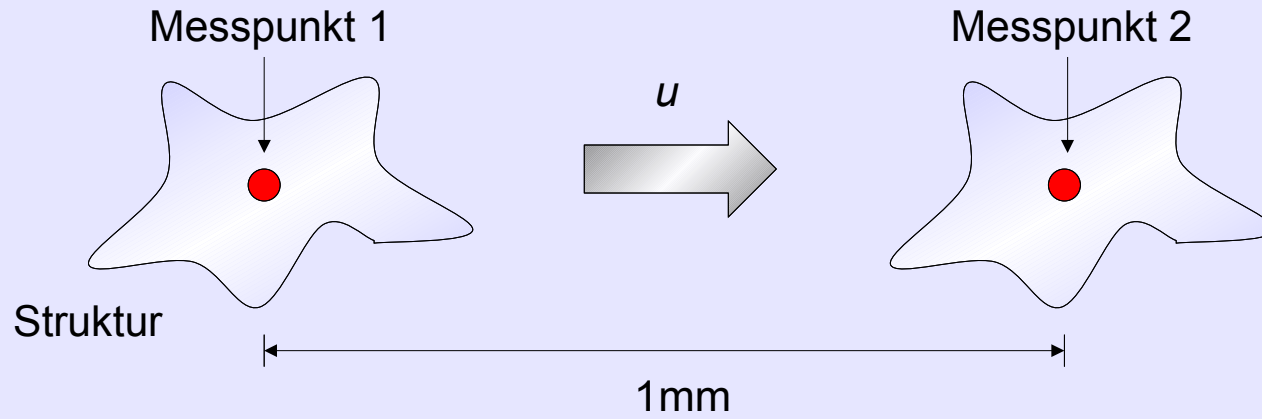
Räumliche Autokorrelationsfunktion



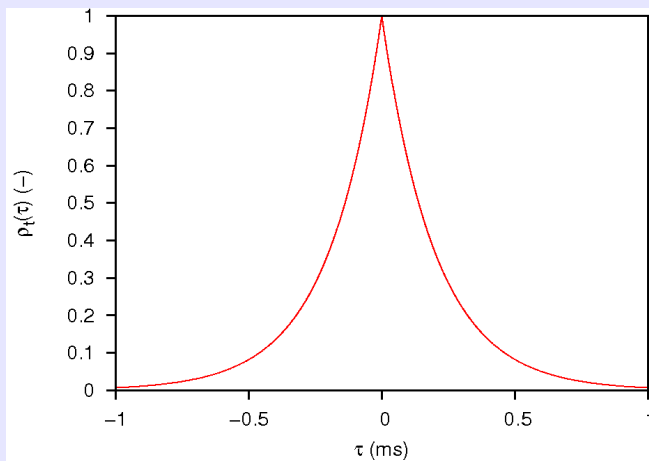
1ms \Rightarrow 5mm

Raum-Zeit-Transformation

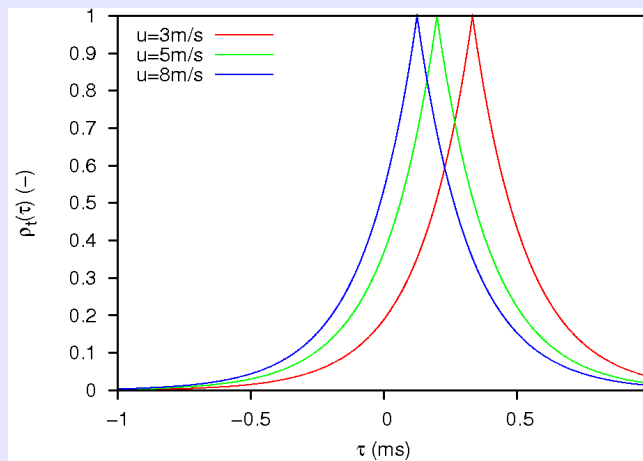
◆ veränderliche Geschwindigkeit



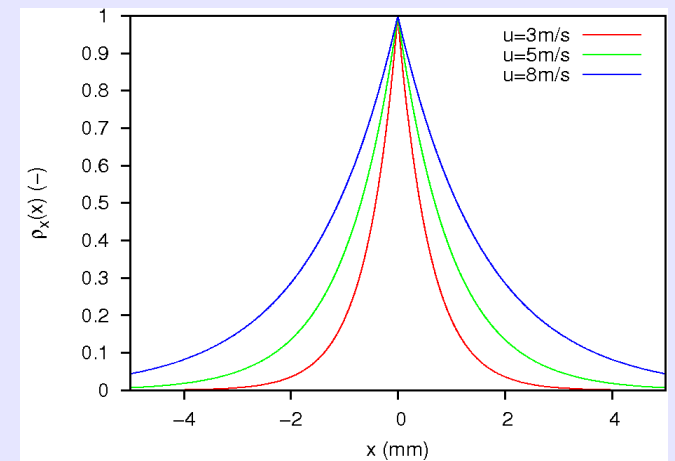
Zeitliche Autokorrelationsfunktion



Zeitliche Kreuzkorrelationsfunktion



Räumliche Autokorrelationsfunktion



$1\text{ms} \Rightarrow u \cdot 1\text{mm}$

Raum-Zeit-Transformation

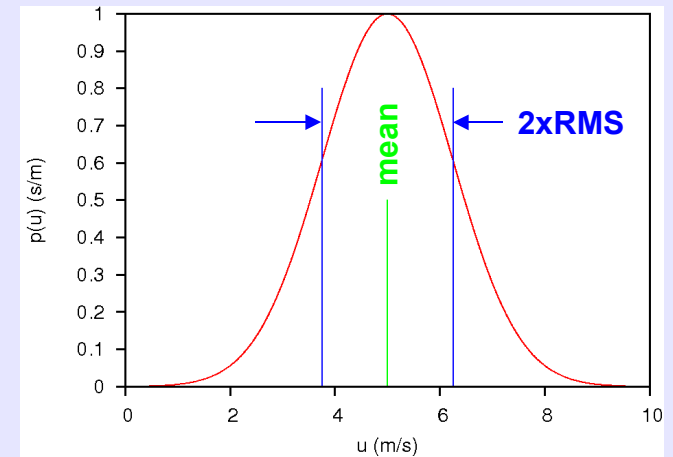
◆ Geschwindigkeitsstatistik

◆ für jedes u:

- ◆ Transformation
- ◆ Wahrscheinlichkeitsdichte

$$\rho(\xi) = \rho(\tau) \quad (\xi = u\tau)$$

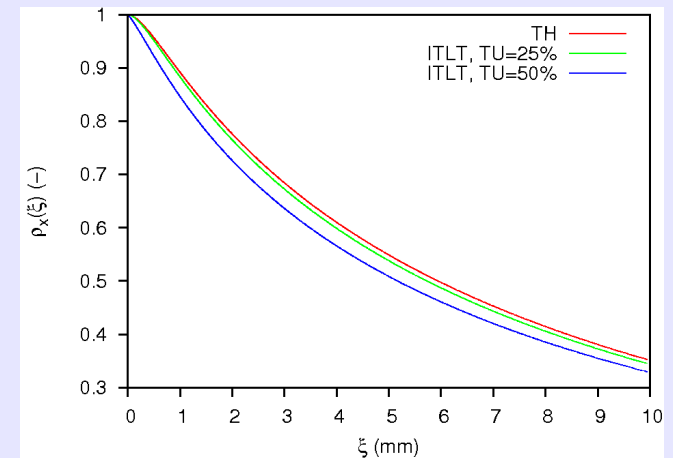
$$\rho(u)$$



◆ ganze räumliche Korrelationsfunktion:

- ◆ Integration über alle u

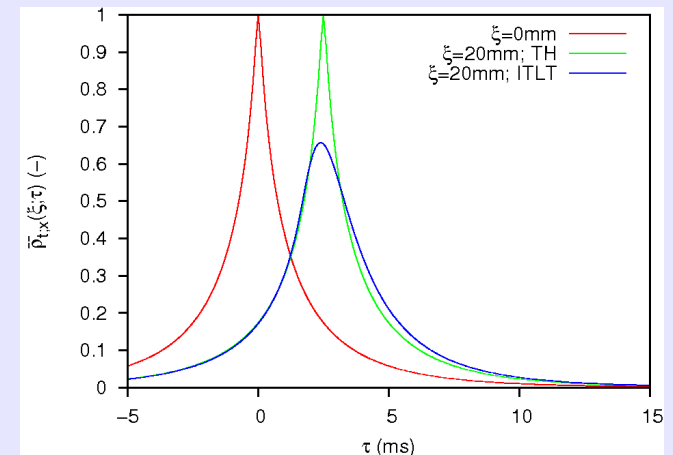
$$\bar{\rho}(\xi) = \int_{-\infty}^{+\infty} \rho(\xi)|_u \rho(u) du$$



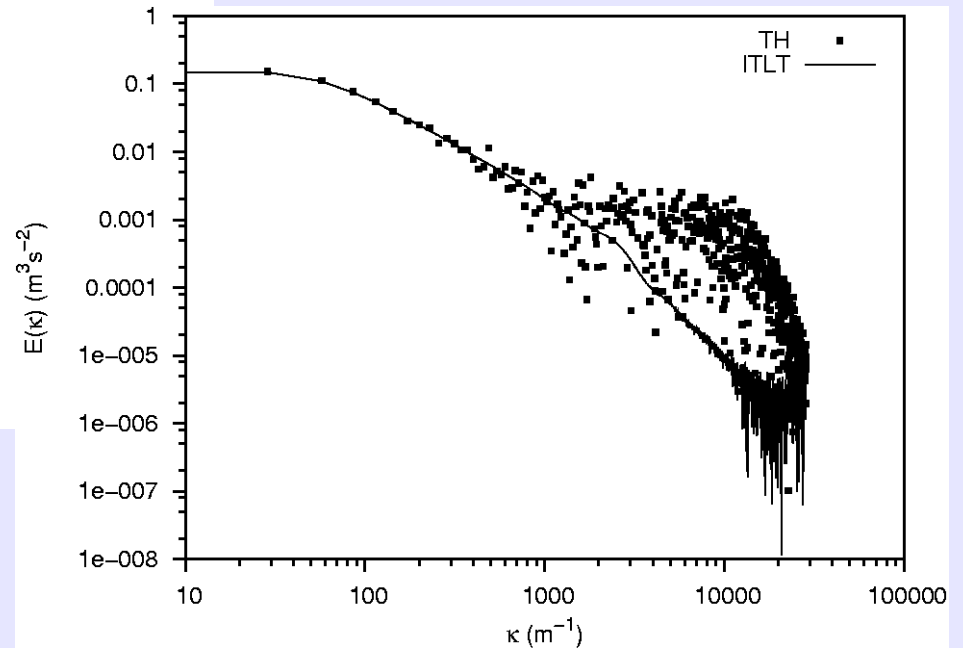
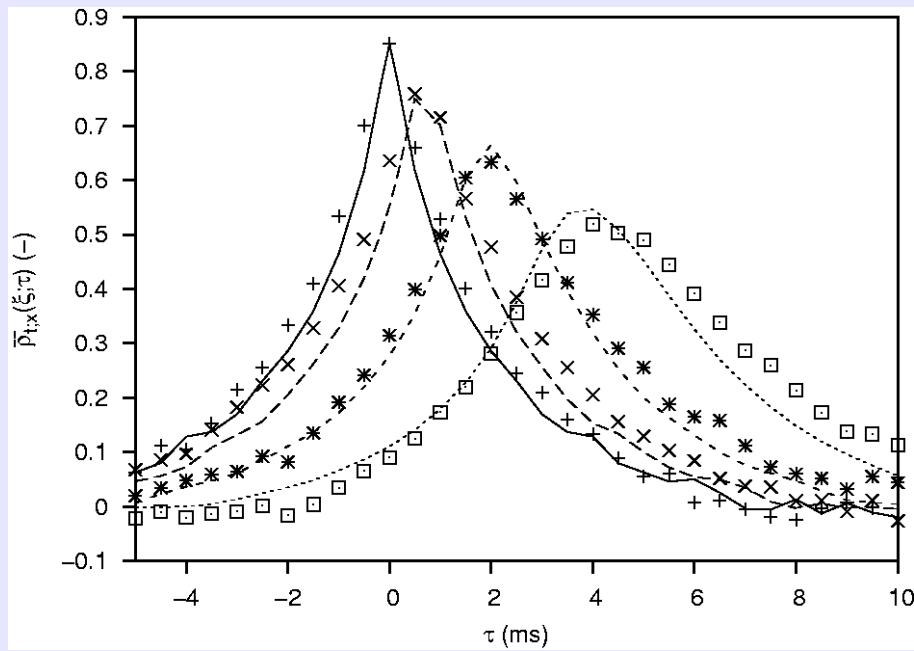
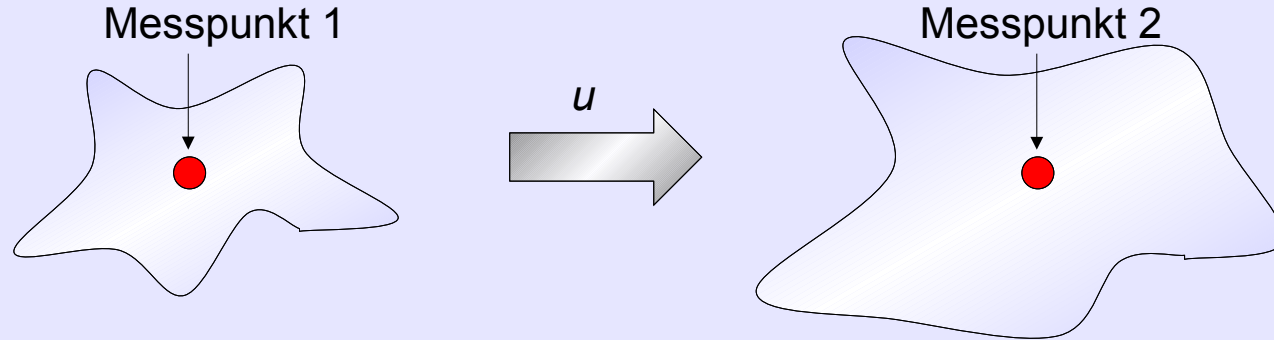
- ◆ zusätzliche Zeitverschiebung für zweidimensionale Raum-Zeit-Korrelation

$$\bar{\rho}(\xi, \tau) = \int_{-\infty}^{+\infty} \rho(\xi, \tau)|_u \rho(u) du$$

$$\rho(\xi, \tau)|_u = \rho(\tau + \xi/u)$$

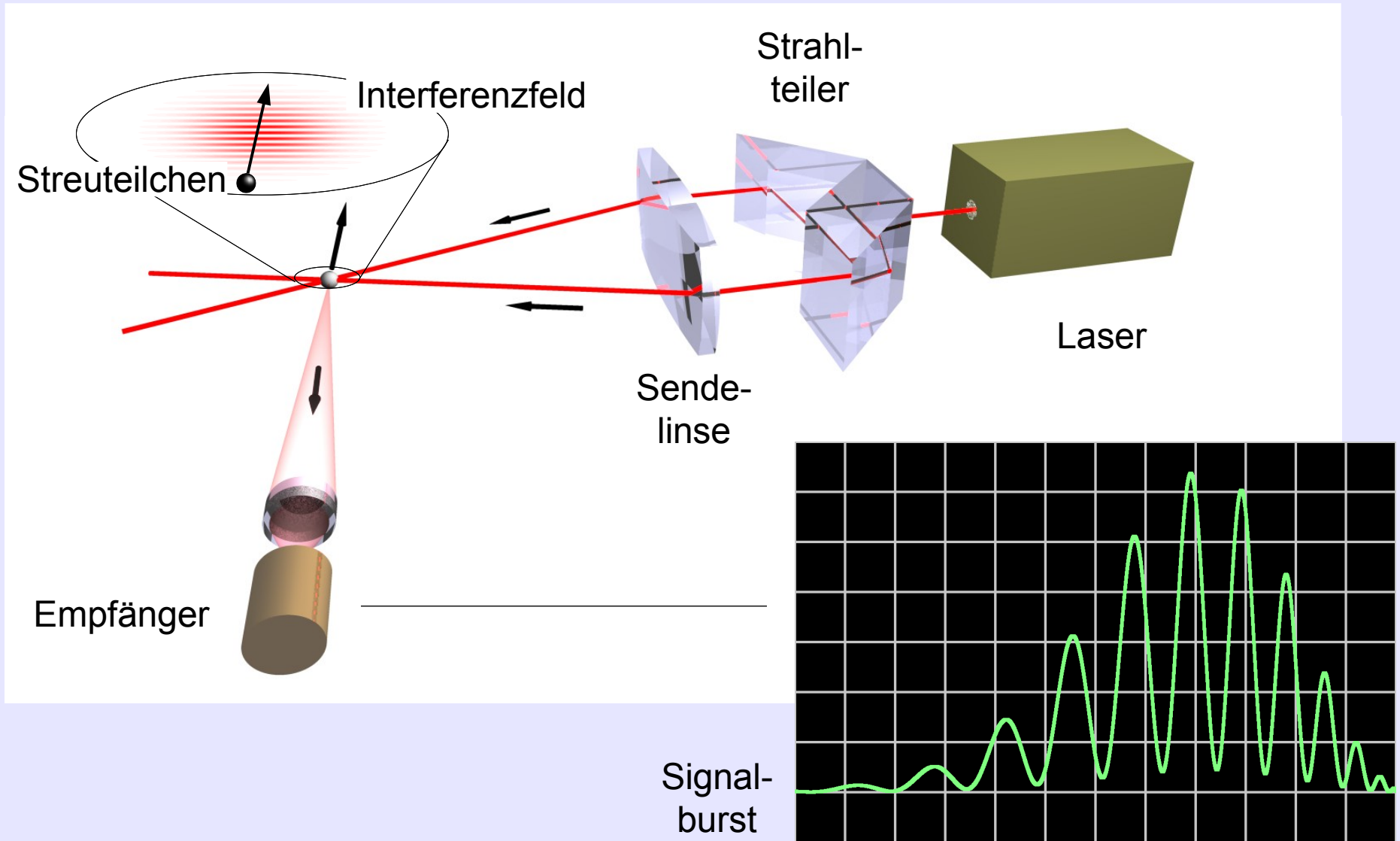


◆ Raum-Zeit-Korrelation

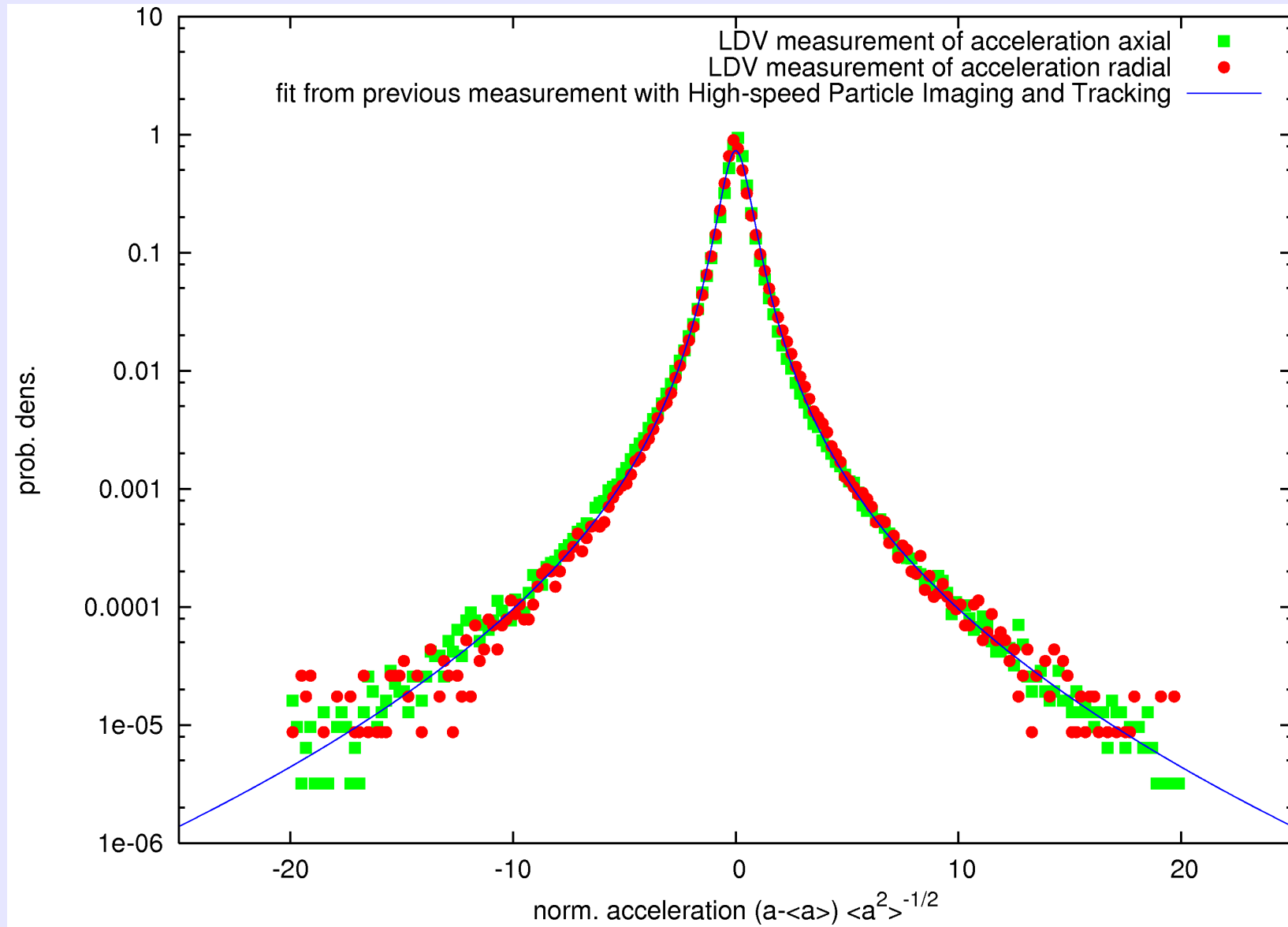


Raum-Zeit-Transformation

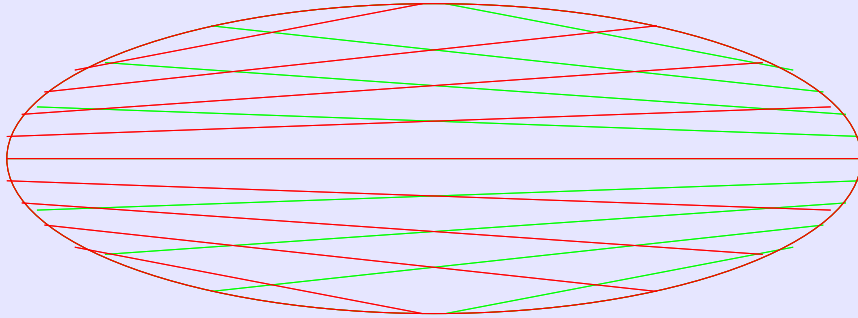
LDA-Beschleunigungsmessung



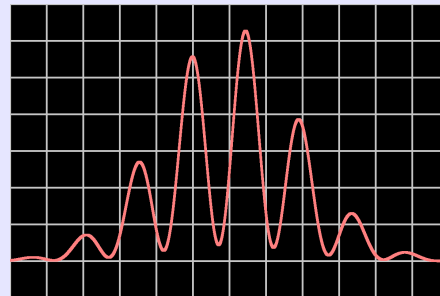
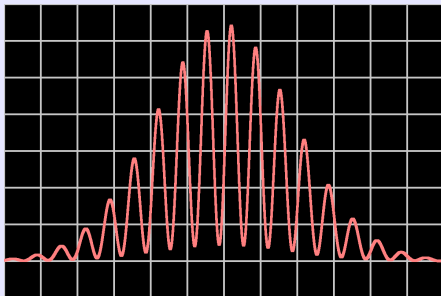
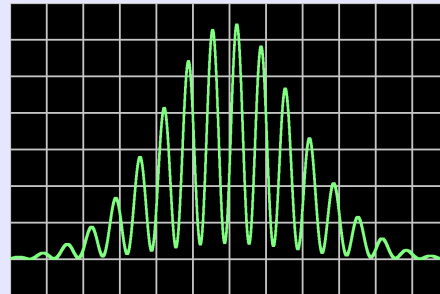
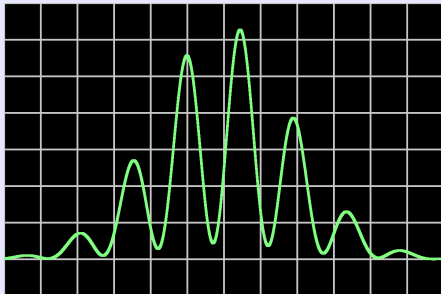
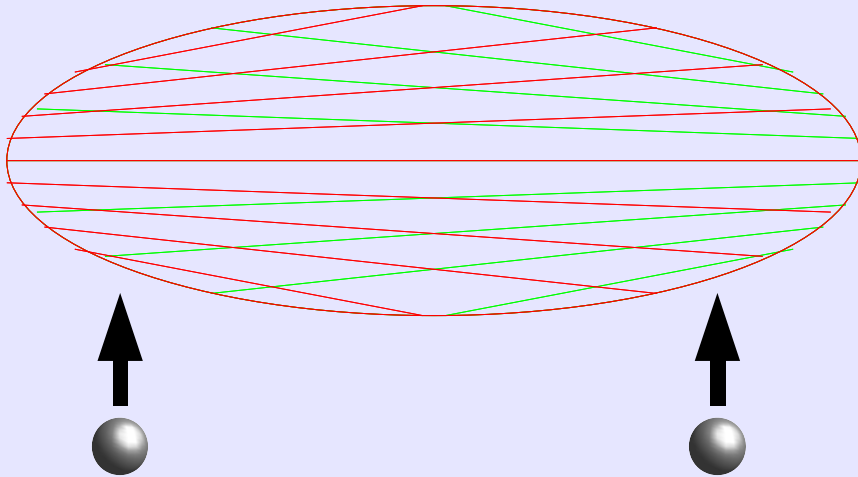
LDA-Beschleunigungsmessung



LDA-Profilsensor



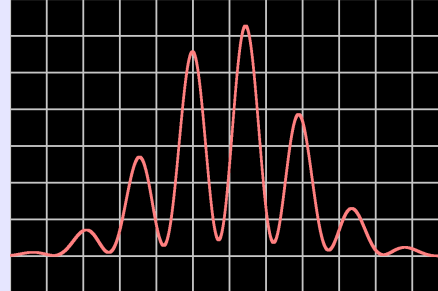
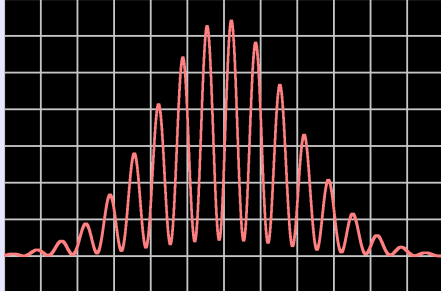
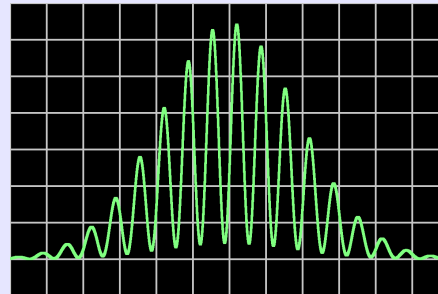
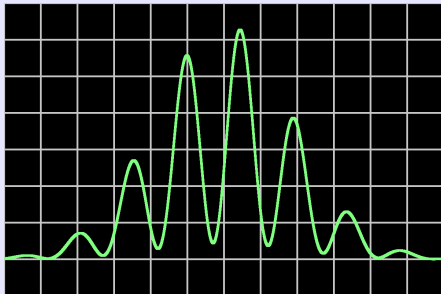
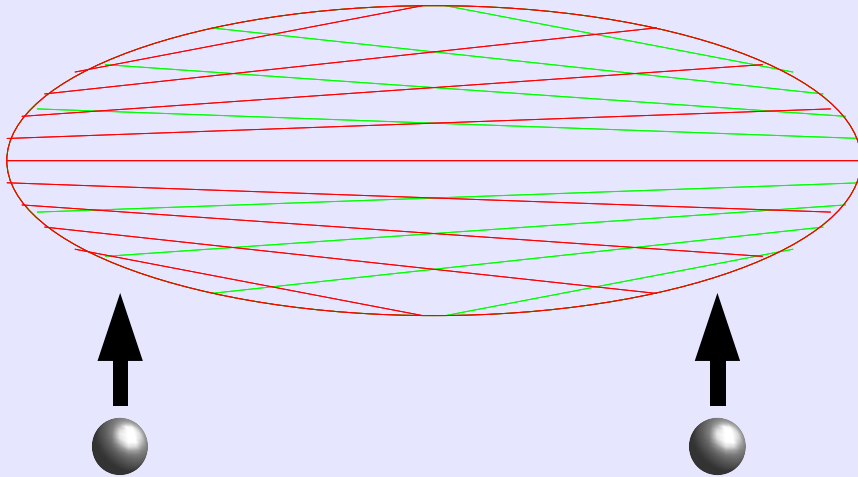
LDA-Profilsensor



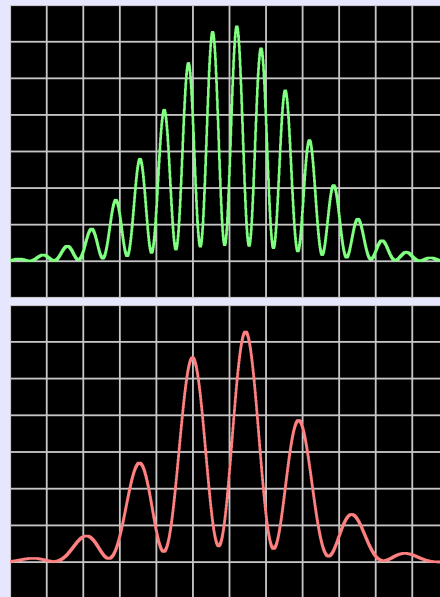
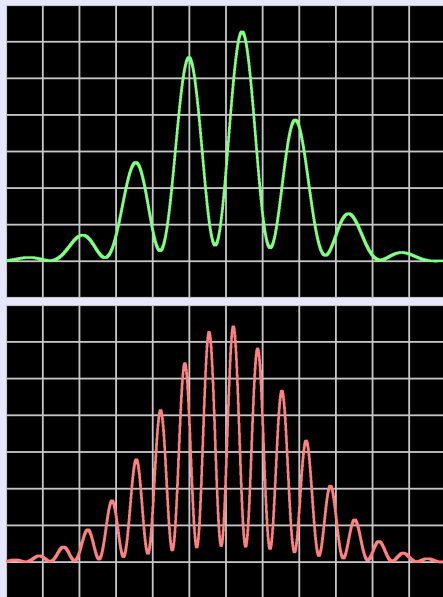
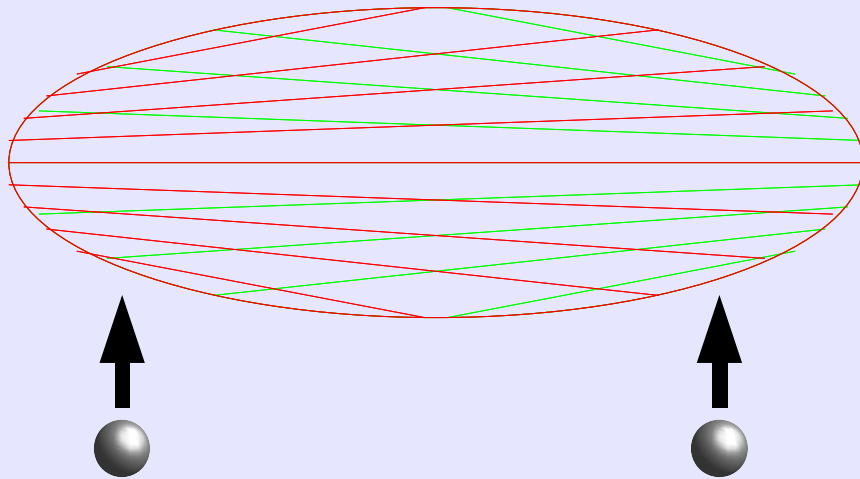
LDA-Profilsensor

LDA-Datensatz

t u x



LDA-Profilsensor

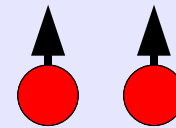


LDA-Datensatz

t u x



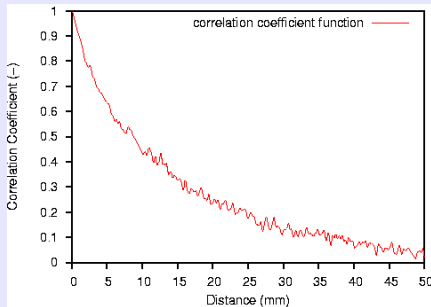
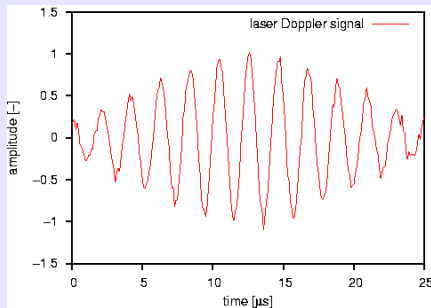
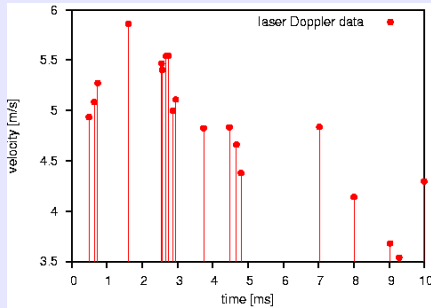
f-Korrelation
durch Transformation



g-Korrelation
durch x-Auflösung

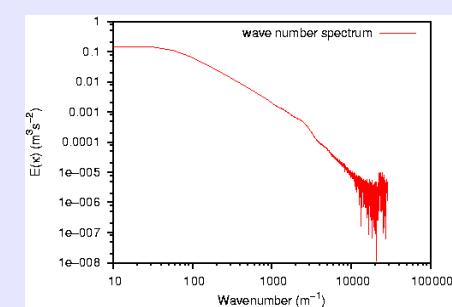
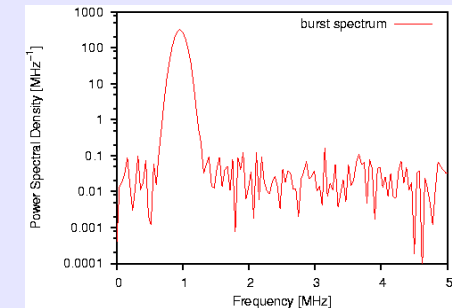
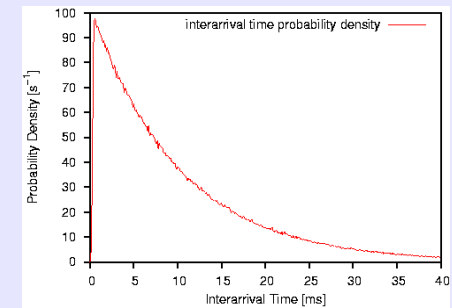
Laser Doppler and Phase Doppler Signal and Data Processing Site

<http://ldvproc.nambis.de>



- ◆ News-Service
- ◆ Literatur

- ◆ LDA-Signalverarbeitung
- ◆ LDA-Datenverarbeitung
- ◆ Downloads
 - ◆ Simulationsprogramme
 - ◆ Experimentelle Referenzdaten (HDA und LDA)
 - ◆ Analyseprogramme



- [BEN95]** L H Benedict and R D Gould 1995: Experiences Using Kalman Reconstruction for Enhanced Power Spectrum Estimates, Proc. ASME/JSME Fluids Eng. and Laser Anemometry Conf., FED-Vol. 229, Hilton Head Island, South Carolina, USA, pp. 1-7
- [BEN98]** L H Benedict, H Nobach and C Tropea 1998: Benchmark tests for the estimation of power spectra from LDA signals, Proc. 9th Int. Symp. on Appl. of Laser Techn. to Fluid Mechanics, Lisbon, Portugal, paper 32.6
- [BEN00]** L H Benedict, H Nobach and C Tropea 2000: Estimation of turbulent velocity spectra from laser Doppler data, Meas. Sci. Technol. vol 11, 8, pp 1089-1104
- [BUC79]** P Buchhave W K George Jr and J L Lumley 1979: The measurement of turbulence with the laser Doppler anemometer, Annual Review of Fluid Mechanics, vol 11, Annual Reviews, Inc., Palo Alto, CA, pp 442-503
- [CHA92]** Y C Chao and J H Leu 1992: A Fractal Reconstruction Method for LDV Spectral Analysis, Experiments in Fluids, vol 13, pp. 91-97
- [CLA85]** J J Clark and M R Palmer and P D Lawrence 1985: A Transformation Method for the Reconstruction of Functions from Nonuniformly Spaced Samples, IEEE Transactions on Acoustics, Speech, and Signal Processing, vol 33, 4, pp. 1151-1165
- [GAS75]** M Gaster and J B Roberts 1975: Spectral analysis of randomly sampled signals, J. Inst. Maths. Applics, vol 15, pp 195-216
- [GAS77]** M Gaster and J B Roberts 1977: The spectral analysis of randomly sampled records by a direct transform, Proc. R. Soc. Lond. A. 254, 27-58
- [HOS94]** A Høst-Madsen 1994: A New Method for Estimation of Turbulence Spectra for Laser Doppler Anemometry, Proc. 7th Int. Symp. on Appl. of Laser Techn. to Fluid Mechanics, Lisbon, Portugal, paper 11.1
- [KUO92]** S Kuo and R J Mammone 1992: Image Restoration by Convex Projections Using Adaptive Constraints and the L_1 Norm, IEEE Transactions on Signal Processing, vol 40, 1, pp 159-169
- [LEE92]** D H Lee and H J Sung 1992: Turbulent Spectral Bias of Individual Realization of LDV, Proc. 6th Int. Symp. on Appl. of Laser Techn. to Fluid Mechanics, Lisbon, Portugal, paper 8.1
- [MAA 94]** H R E van Maanen and H J A F Tulleken: 1994: Application of Kalman Reconstruction to Laser-Doppler Anemometry Data for Estimation of Turbulent Velocity Fluctuations, Proc. 7th Int. Symp. on Appl. of Laser Techn. to Fluid Mechanics, Lisbon, Portugal, paper 23.1
- [MAA96]** H R E van Maanen and M J Tummers 1996: Estimation of the autocorrelation function of turbulent velocity fluctuations using the slotting technique with local normalization, Proc. 8th Int. Symp. on Appl. of Laser Techn. to Fluid Mechanics, Lisbon, Portugal, paper 36.4
- [MAY74]** W T Mayo Jr, M T Shay and S Ritter 1974: The development of new digital data processing techniques for turbulence measurements with a laser velocimeter, AEDC-TR-74-53 Final Report USAF AEDC Contract No. F40600-73-C-0003
- [MAY78]** W T Mayo Jr 1978: Spectrum measurements with laser velocimeters, Proc. Dynamic Flow Conf., pp 851-868
- [MUE94]** E Müller, H Nobach and C Tropea 1994: LDA signal reconstruction: Application to moment and spectral estimation, Proc. 7th Int. Symp. on Appl. of Laser Techn. to Fluid Mechanics, Lisbon, Portugal, paper 23.2

- [NOB96]** H Nobach, E Müller and C Tropea 1996: Refined Reconstruction Techniques for LDA Data Analysis, 8th Int. Symp. on Appl. of Laser Techn. to Fluid Mech., Lisbon, Portugal
- [NOB98a]** H Nobach, E Müller and C Tropea 1998: Efficient estimation of power spectral density from laser Doppler anemometer data, Exp. in Fluids, vol 24, 5/6, pp 499-509
- [NOB98b]** H Nobach, E Müller and C Tropea 1998: Correlation estimator for two-channel, non-coincidence laser-Doppler-anemometer, Proc. 9th Int. Symp. on Appl. of Laser Techn. to Fluid Mechanics, Lisbon, Portugal, paper 32.1
- [NOB99a]** H Nobach 1999: Processing of stochastic sampled data in laser Doppler anemometry, Proc. 3rd Int. Workshop on Sampling Theory and Applications, Loen, Norway, pp 149-154
- [NOB99b]** H Nobach 1999: LDA Data Filtering, TU Darmstadt, FG Strömungslehre und Aerodynamik, Report No. 007/1999
- [NOB00]** H Nobach 2000: A Global Concept of Autocorrelation and Power Spectral Density Estimation from LDA Data Sets, Proc. 10th Int. Symp. on Appl. of Laser Techn. to Fluid Mech., Lisbon, Portugal
- [NOB02]** H Nobach 2002: Local Time Estimation for the Slotted Correlation Function of Randomly Sampled LDA data, Exp. in Fluids, vol 32, pp 337-345
- [NOB03]** H Nobach and C Tropea 2003: Estimation of Correlation Functions and Derived Quantities Thereof from Single-Point and Two-Point Laser Doppler Data, submitted for publication in Exp. in Fluids
- [SAU87]** K D Sauer and J P Allebach 1987: Iterative Reconstruction of Band-Limited Images from Nonuniformly Spaced Samples, IEEE Transactions on Circuits and Systems, vol 34, 12, pp 1497-1506
- [SCO74]** P F Scott 1974: Random sampling theory and its application to laser velocimeter turbulent spectral measurements, Technical report, General Electric Co., Corporate Res. and Development, Report No. 74CRD216, Tech, Info Series
- [STR88]** W C Strahle and J I Jagoda 1988: Fractal Geometry Applications in Turbulent Combustion Data Analysis, Proc. 22nd Symp. Int. on Combustion, The Combustion Institute, 561--568
- [STR91]** W C Strahle 1991: Turbulent Combustion Data Analysis Using Fractals, AIAA Journal, vol 29, 3, pp. 409-417
- [SRE94]** D Sree, S O Kjølgaard and W L Sellers III 1994: Spectral enhancement of randomly sampled signals by pre-filtering techniques. Laser Anemometry: Advances and Applications, pp 680-685, ASME FED-Vol. 191
- [TUM96]** M J Tummers and D M Passchier 1996: Spectral estimation using a variable window and the slotting technique with local normalization, Meas. Sci. Technol, vol 7, pp 1541-1546
- [VEY88]** D Veynante and D S M Candel 1988: A Promising Approach in Laser Doppler Velocimetry Data Processing: Signal Reconstruction and Nonlinear Spectral Analysis, Signal Processing, vol 14, pp. 295-300
- [YEH90]** S Yeh and H Stark 1990: Iterative and one-step reconstruction from nonuniform samples by convex projections, J. Opt. Soc. Am. A, vol 7, 3, pp 491-499